

Facoltà di Scienze MM. FF. NN.

Università di Verona

A.A. 2010-11

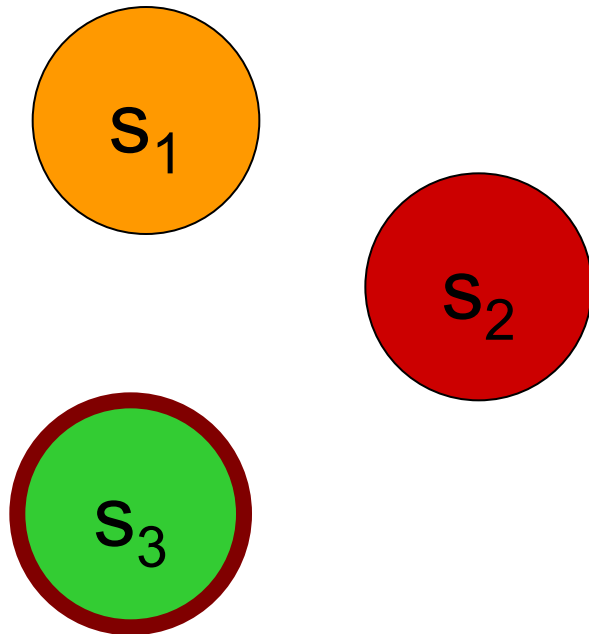
Teoria e Tecniche del Riconoscimento

**Modelli generativi: Hidden Markov Models,
Observed Influence Models**

Sommario

1. Processi e modelli di Markov;
2. Processi e modelli di Markov a stati nascosti (Hidden Markov Model, HMM);
3. Attività di ricerca e applicazioni su HMM;

Processo di Markov (ordine 1)



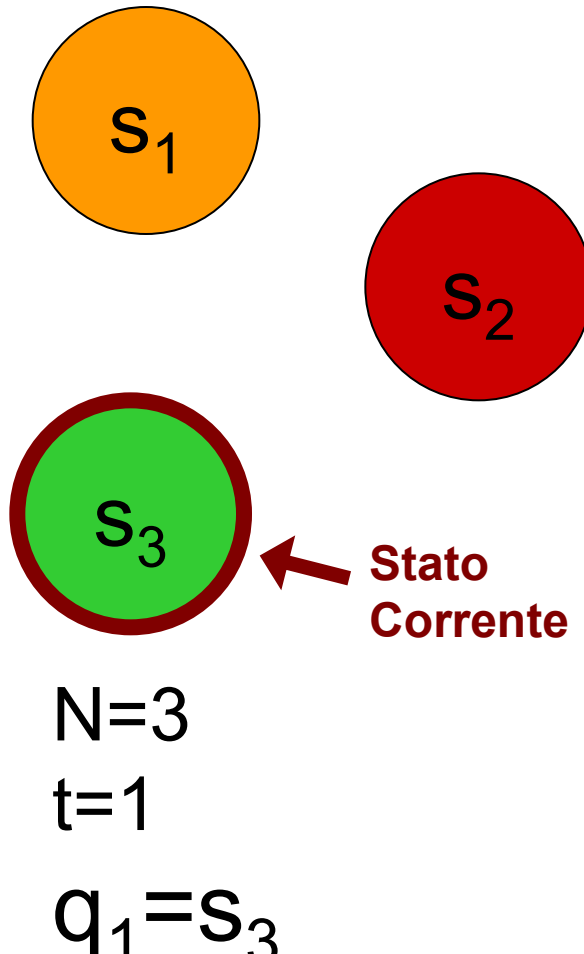
$N=3$
 $t=1$

- Ha N stati , s_1, s_2, \dots, s_N
- È caratterizzato da passi discreti, $t=1, t=2, \dots$
- La probabilità di partire da un determinato stato è dettata dalla distribuzione:

$$\Pi = \{\pi_i\}: \pi_i = P(q_1 = s_i) \text{ con}$$

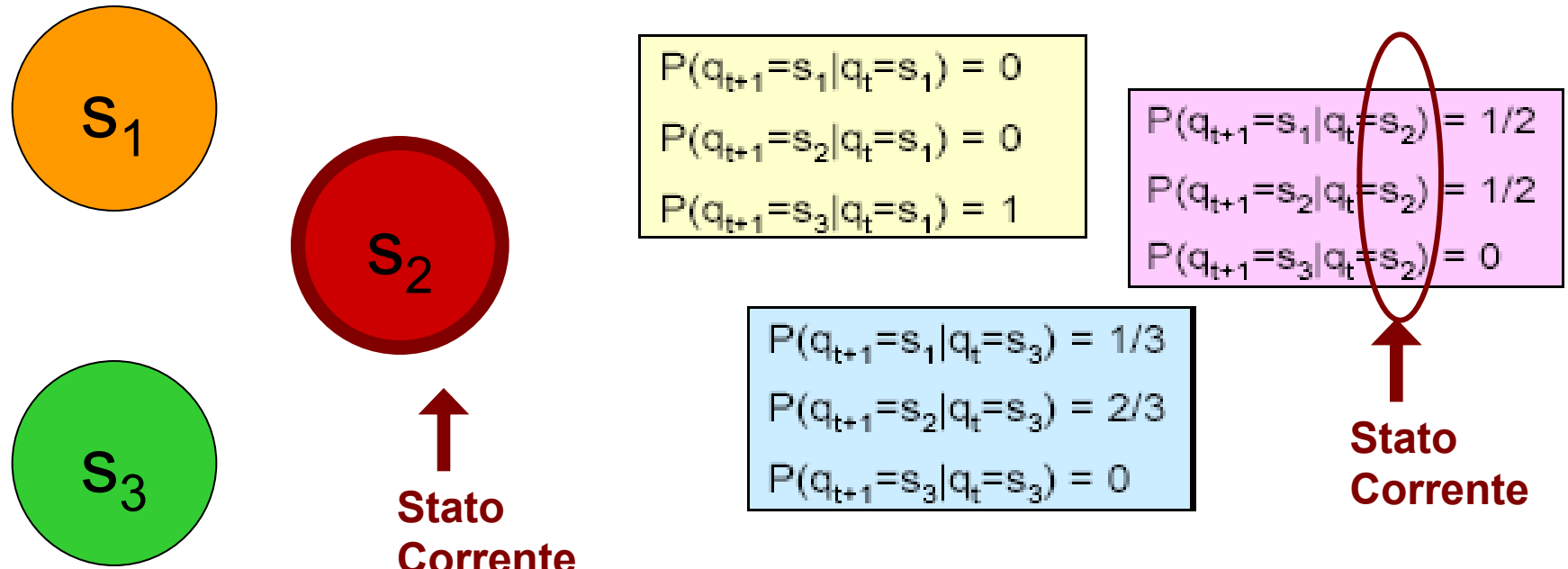
$$1 \leq i \leq N, \pi_i \geq 0 \text{ e } \sum_{i=1}^{N_T} = 1$$

Processo di Markov



- Al t -esimo istante il processo si trova esattamente in uno degli stati a disposizione, indicato dalla variabile q_t
- Nota: $q_t \in \{s_1, s_2, \dots, s_N\}$
- Ad ogni iterazione, lo stato successivo viene scelto con una determinata probabilità

Processo di Markov

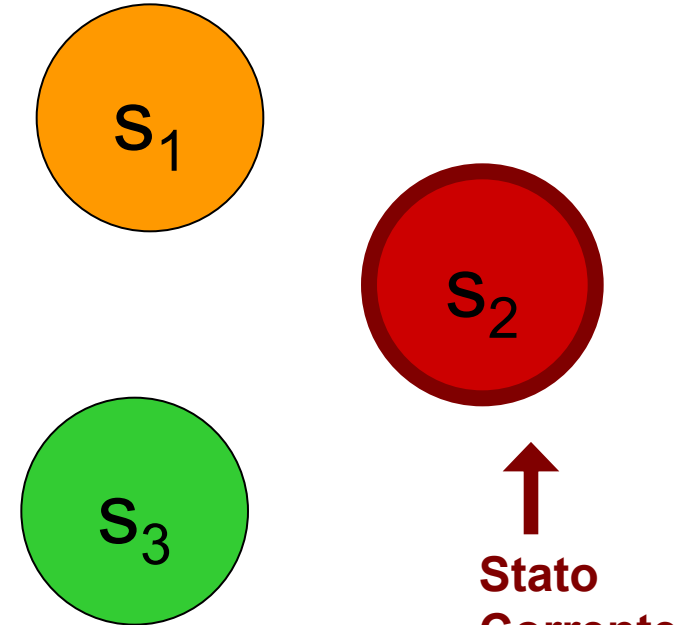


N=3 t=2
 $q_2=S_2$

- Tale probabilità è unicamente determinata dallo stato precedente (*markovianità di primo ordine*):

$$\begin{aligned} P(q_{t+1}=s_j|q_t=s_i, q_{t-1}=s_k, \dots, q_1=s_l) &= \\ P(q_{t+1}=s_j|q_t=s_i) \end{aligned}$$

Processo di Markov



$N=3$ $t=1$
 $q_2=s_2$

- Definendo:

$$a_{i,j} = P(q_{t+1} = s_j \mid q_t = s_i)$$

ottengo la matrice NxN

A di *transizione tra stati, invariante nel tempo*:

$a_{1,1}$	$a_{1,2}$	$a_{1,3}$
$a_{2,1}$	$a_{2,2}$	$a_{2,3}$
$a_{3,1}$	$a_{3,2}$	$a_{3,3}$

Caratteristiche dei processi Markoviani

- Sono processi (discreti) caratterizzati da:
 - Markovianità del primo ordine
 - stazionarietà
 - aventi una distribuzione iniziale
- Conoscendo le caratteristiche di cui sopra, si può esibire un ***modello (probabilistico) di Markov (MM)*** come

$$\lambda = (A, \pi)$$

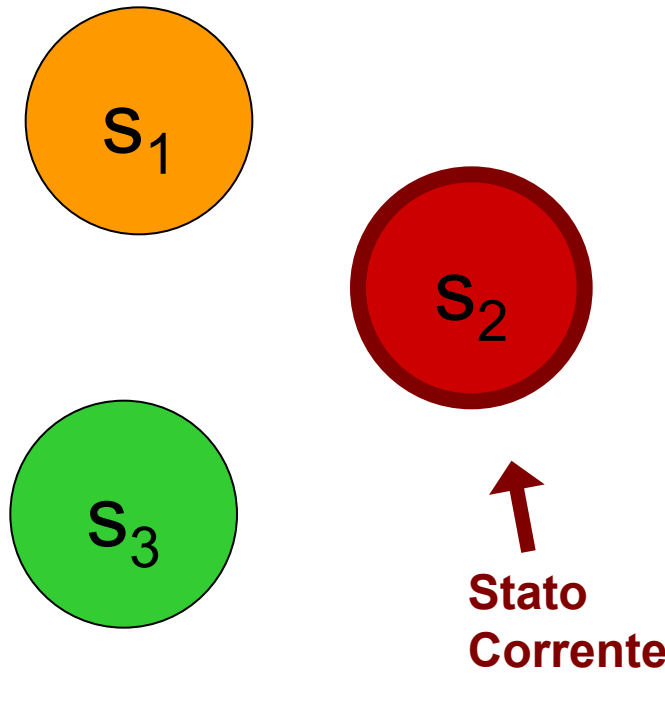
Cosa serve un modello stocastico?

- Modella e riproduce **processi stocastici**
- Descrive tramite probabilità **le cause che portano da uno stato all'altro del sistema**
- In altre parole, più è probabile che dallo stato A si passi allo stato B, più è probabile che **A causi B**

Che operazioni si possono eseguire su un modello probabilistico?

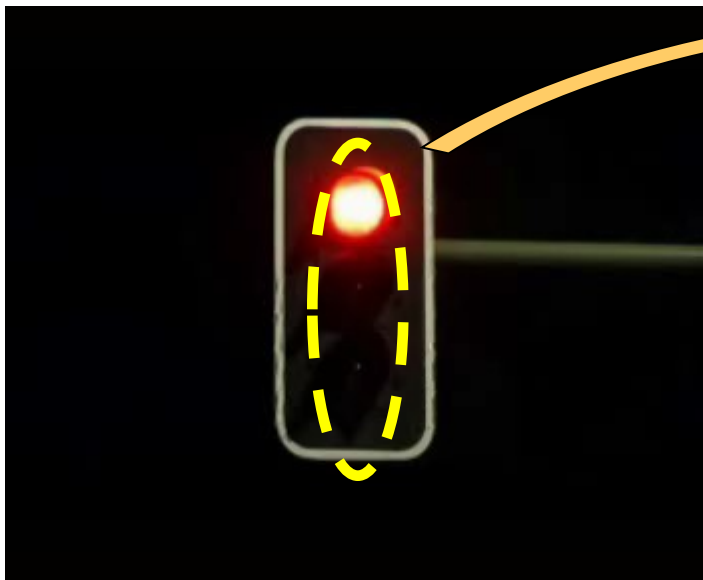
- **Addestramento o training**
 - Si costruiscono gli elementi costituenti del modello
- **Inferenze di vario tipo (interrogo il modello):**
 - Probabilità di una sequenza di stati, dato il modello
 - Proprietà invarianti etc.

Cosa serve un modello di Markov?

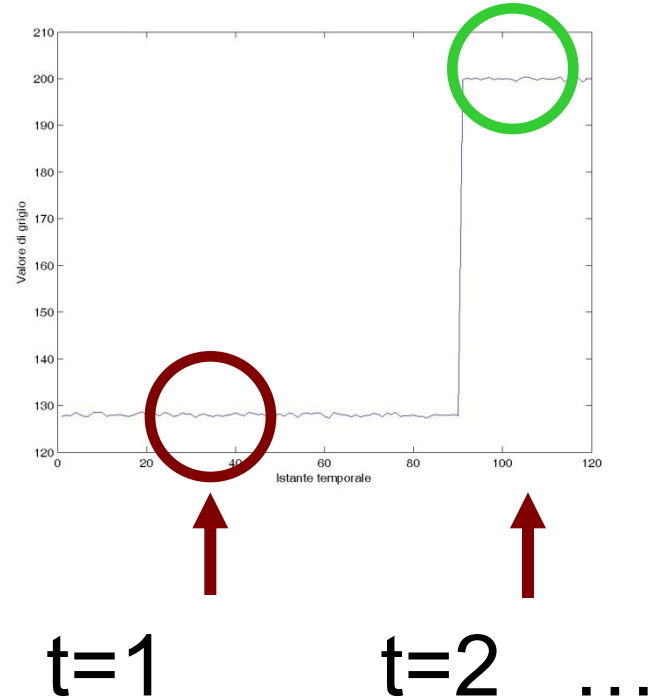


- Modella comportamenti *stocastici Markoviani (di ordine N)* di un sistema in cui gli stati sono:
 - **Esplicativi** (riesco a dar loro un nome)
 - **Osservabili** (ho delle osservazioni che univocamente identificano lo stato)

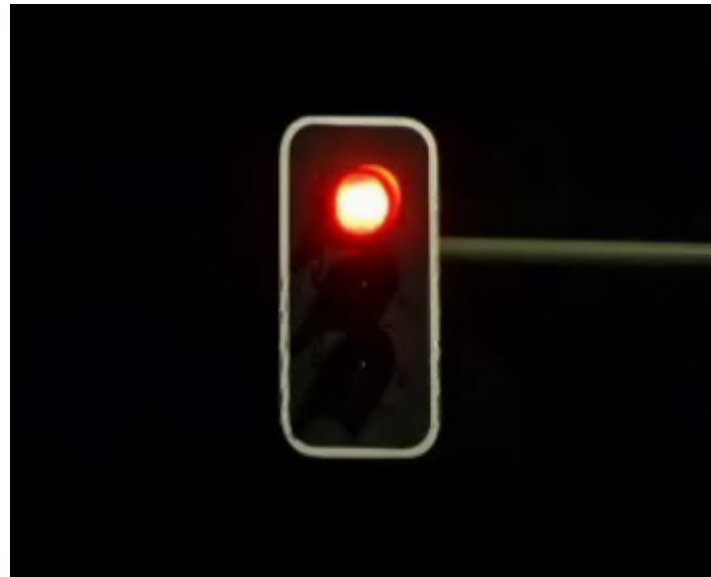
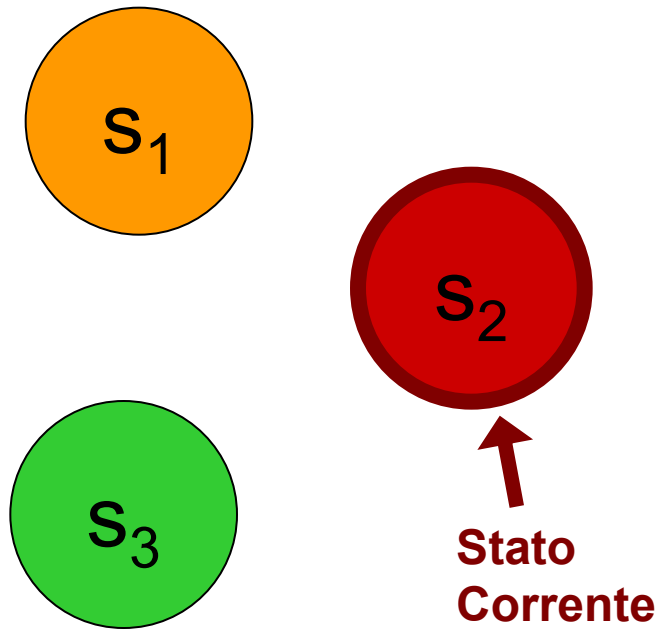
Esempio: Semaforo



- E' un sistema di cui gli stati sono:
 - **Esplicati** (le diverse lampade accese)
 - **Osservabili** (i colori delle lampade che osservo con la telecamera)



Semaforo – modello addestrato

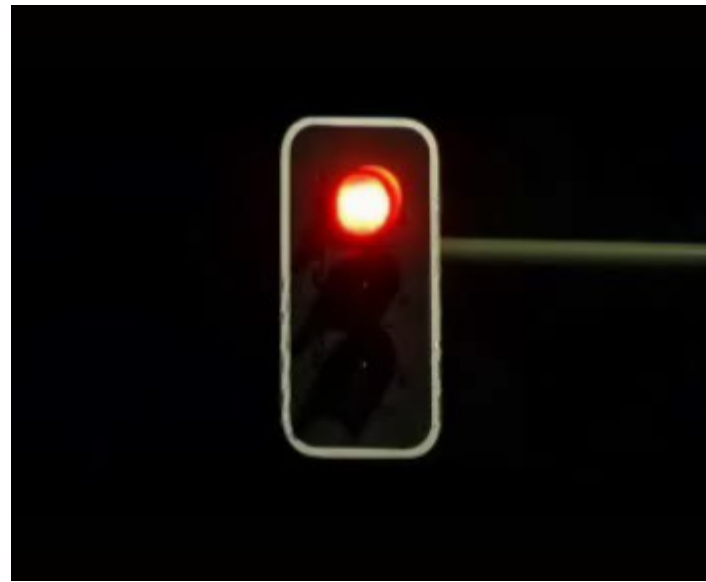
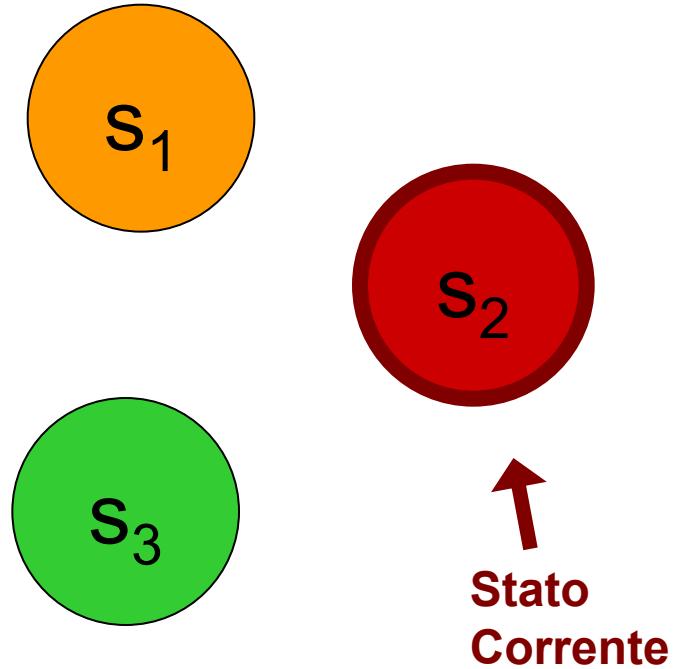


$$\pi =$$

$\pi_1 = 0.33$	$\pi_2 = 0.33$	$\pi_3 = 0.33$
----------------	----------------	----------------

$$A = \left\{ \begin{array}{ccc} a_{11} = 0.1 & a_{12} = 0.9 & a_{13} = 0 \\ a_{21} = 0.01 & a_{22} = 0 & a_{23} = 0.99 \\ a_{31} = 1 & a_{32} = 0 & a_{33} = 0 \end{array} \right.$$

Semaforo – inferenze



$$O_2 = \langle q_2 = s_3, q_1 = s_2 \rangle$$

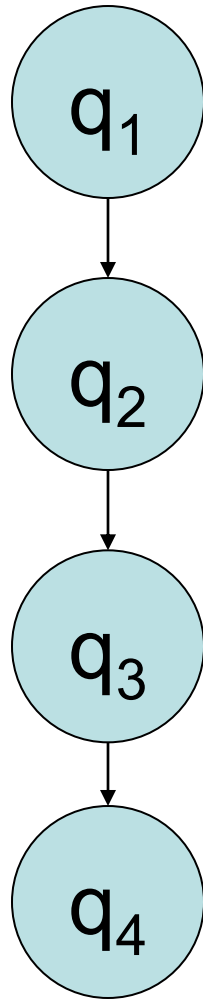
Inferenza: $P(O | \lambda) = P(O)$

$$= P(q_2 = s_3, q_1 = s_2) = P(q_2, q_1)$$

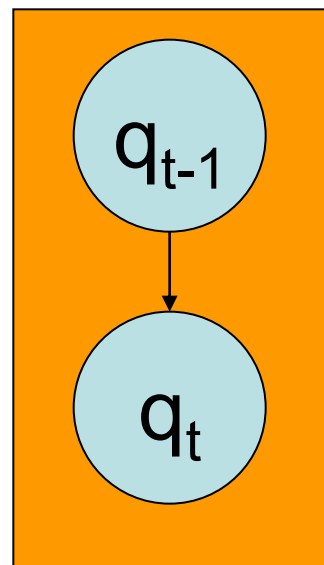
Inferenza importante

$$\begin{aligned} P(q_t, q_{t-1}, \dots, q_1) &= P(q_t | q_{t-1}, \dots, \textcolor{red}{q_1}) P(q_{t-1}, \dots, q_1) \\ &= P(q_t | q_{t-1}) P(q_{t-1}, q_{t-2}, \dots, q_1) \\ &= P(q_t | q_{t-1}) P(q_{t-1} | q_{t-2}) P(q_{t-2}, \dots, q_1) \\ &\quad \dots \\ &= P(q_t | q_{t-1}) P(q_{t-1} | q_{t-2}) \dots P(q_2 | q_1) P(q_1) \end{aligned}$$

Modello grafico

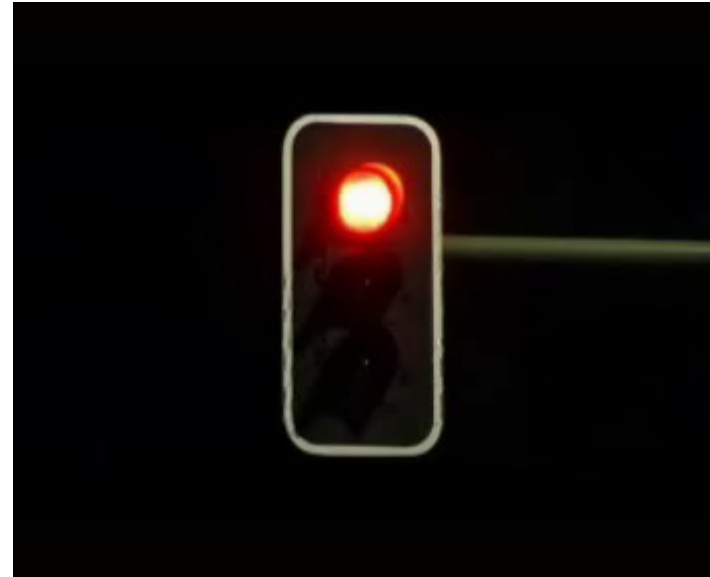
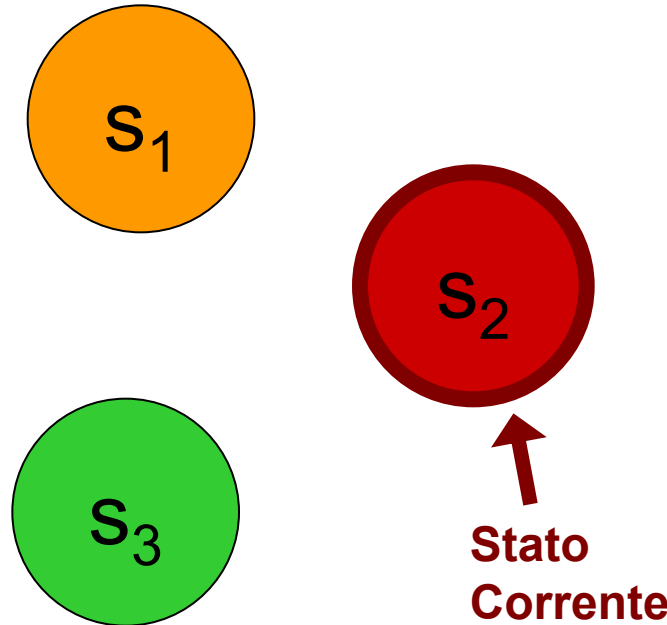


- La struttura grafica di tale probabilità congiunta si scrive in questa forma, dove



$$\begin{aligned} &= P(q_t | q_{t-1}) \\ (&= P(q_t | q_{t-1}, \dots, q_1) \text{ in } \\ &\text{\textit{questo caso}}) \end{aligned}$$

Semaforo – inferenze, risposta



$$P(O|\lambda) = P(O)$$

$$= P(q_2 = s_3, q_1 = s_2)$$

$$= P(q_2 = s_3 | q_1 = s_2) P(q_1 = s_2)$$

$$= \quad \quad \quad 0.99 \quad \quad \quad * \quad \quad \quad 0.33 = 0.326$$

Seconda inferenza importante

- Calcolo della probabilità $P(q_T = s_j)$
- STEP 1: Valuto come calcolare $P(Q)$ per ogni cammino di stati $Q = \{q_1, q_2, \dots, q_T = s_j\}$, ossia
$$P(q_T, q_{T-1}, \dots, q_1)$$
- STEP 2: Uso questo metodo per calcolare $P(q_T = s_j)$, ossia:
 - $P(q_T = s_j) = \sum_{Q \in \text{cammini di lunghezza } T \text{ che finiscono in } s_j} P(Q)$
 - Calcolo oneroso: ESPONENZIALE in T ($O(N^T)$)!

Seconda inferenza importante (2)

- **Idea:** per ogni stato s_j chiamo
 $p_T(j) = \text{prob. di trovarsi nello stato } s_j \text{ al tempo } T \rightarrow P(q_T = s_j);$
 - Si può definire induttivamente:

$$\forall i \quad p_1(i) = \begin{cases} \pi & \text{se } s_i \text{ è lo stato in cui mi trovo} \\ 0 & \text{altrimenti} \end{cases}$$

$$\forall j \quad p_{t+1}(j) = P(q_{t+1} = s_j) = \sum_{i=1}^N P(q_{t+1} = s_j, q_t = s_i)$$

Seconda inferenza importante (3)

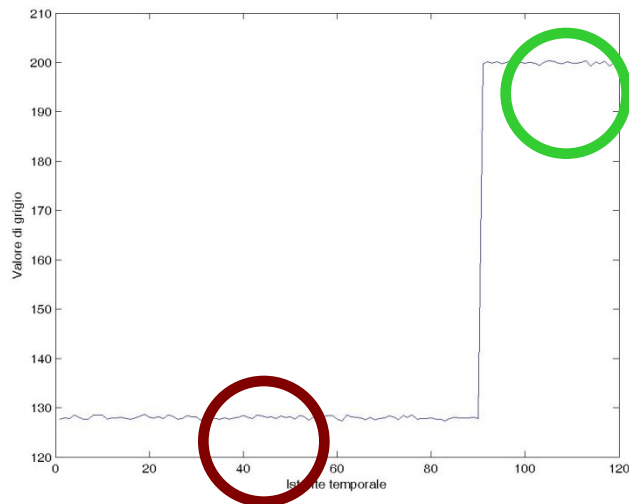
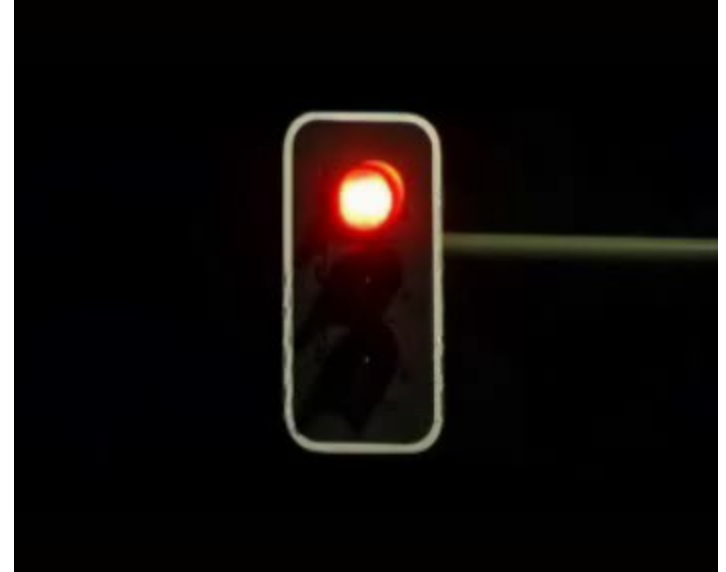
$$\sum_{i=1}^N P(q_{t+1} = s_j, q_t = s_i) =$$

$$= \sum_{i=1}^N P(q_{t+1} = s_j | q_t = s_i) P(q_t = s_i) = \sum_{i=1}^N a_{ij} p_t(i)$$

- Uso questo metodo partendo da $P(q_T = s_j)$ e procedendo a ritroso
- Il costo della computazione in questo caso è $O(tN^2)$

Limiti dei modelli markoviani

1. *Lo stato è sempre osservabile deterministicamente, tramite le osservazioni (non c'è rumore).*



Limiti dei modelli markoviani

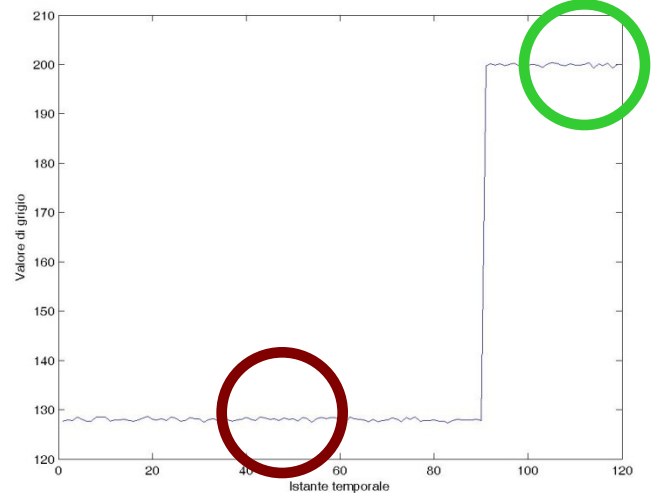


OK

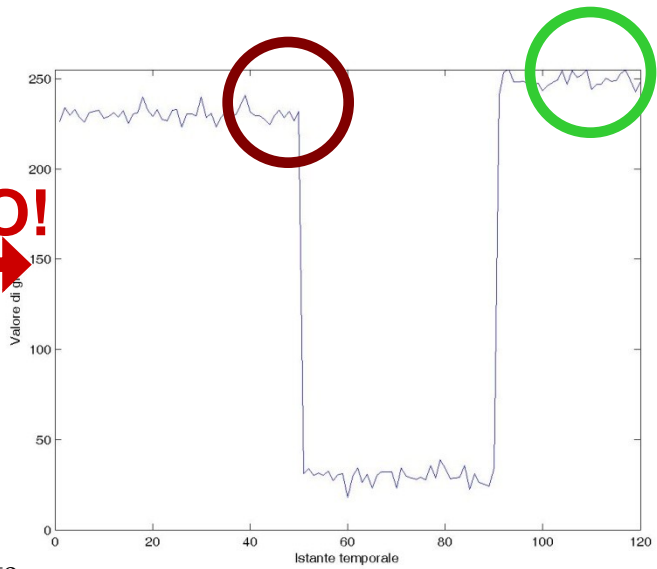


Marco Cristani

Teoria e Tecniche del Riconoscimento

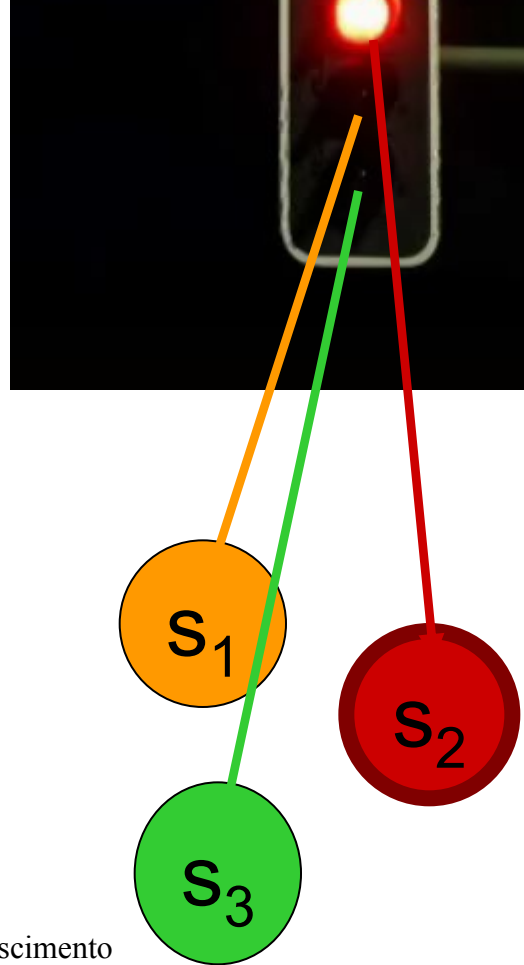
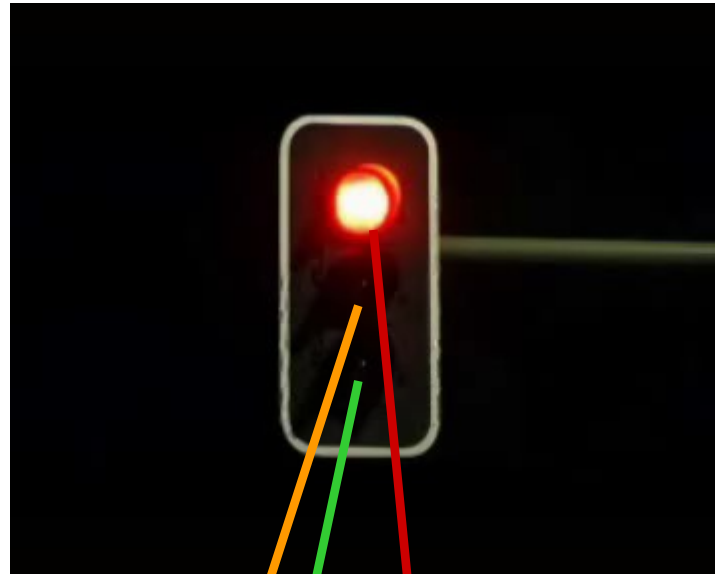


NO!

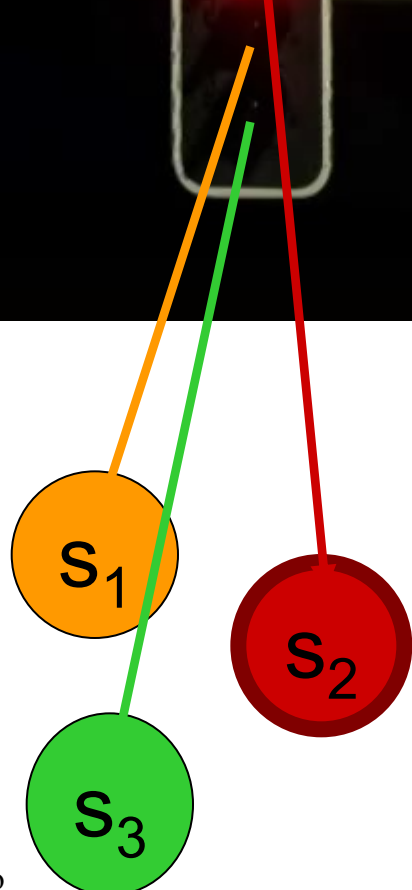
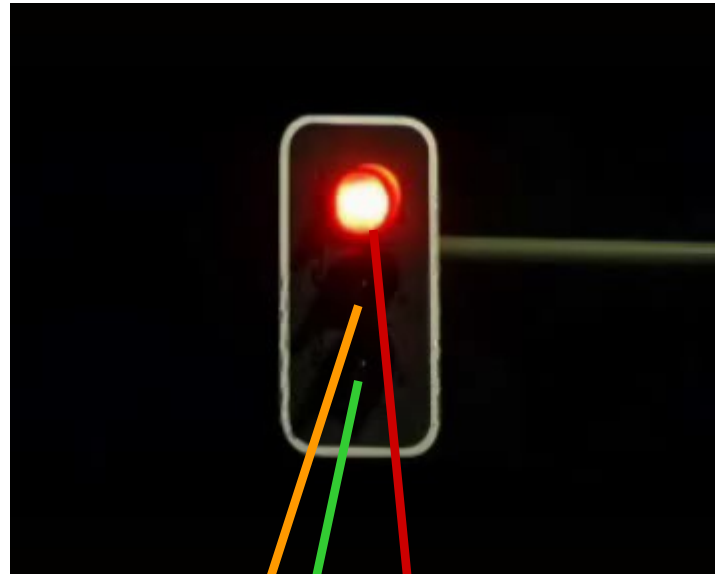


Limiti dei modelli markoviani

2. (Più importante!) Nel caso del semaforo lo stato è **esplicito**, (una particolare configurazione del semaforo), e **valutabile direttamente tramite l'osservazione**
(lo stato corrisponde al colore del semaforo)
- Non sempre accade così!



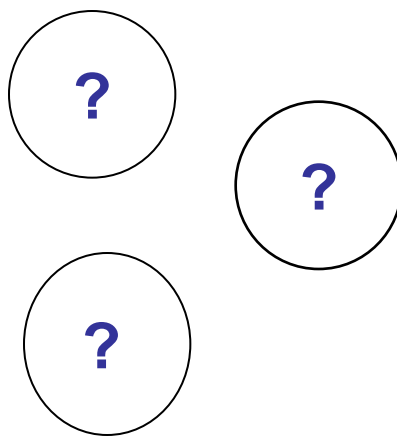
Limiti dei modelli markoviani



Limiti dei modelli markoviani



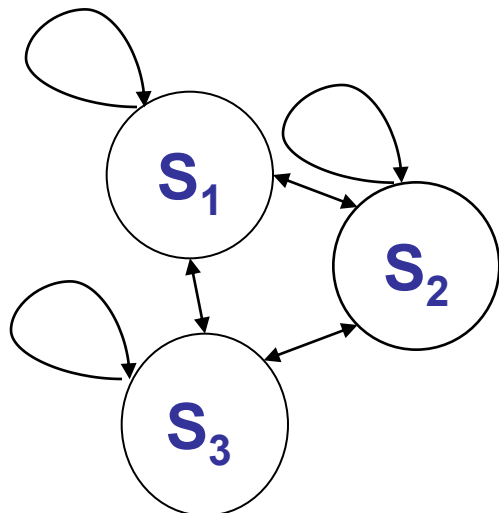
- Osservo il filmato: osservo che c'è un **sistema che evolve**, ma non riesco a capire quali siano gli stati regolatori.



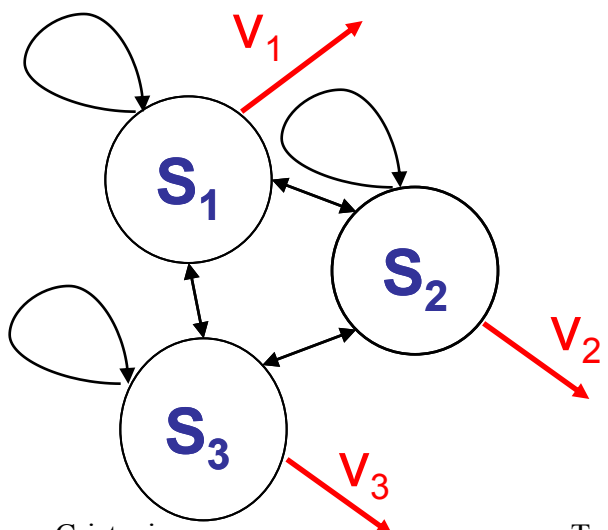
Limiti dei modelli markoviani



- **Osservo** il filmato: **osservo** che c'è un **sistema** che **evolve**, ma non riesco a capire quali siano gli stati regolatori.
- Il sistema comunque evolve a **stati**; lo capisco **osservando** il fenomeno (introduco una conoscenza “a priori”)

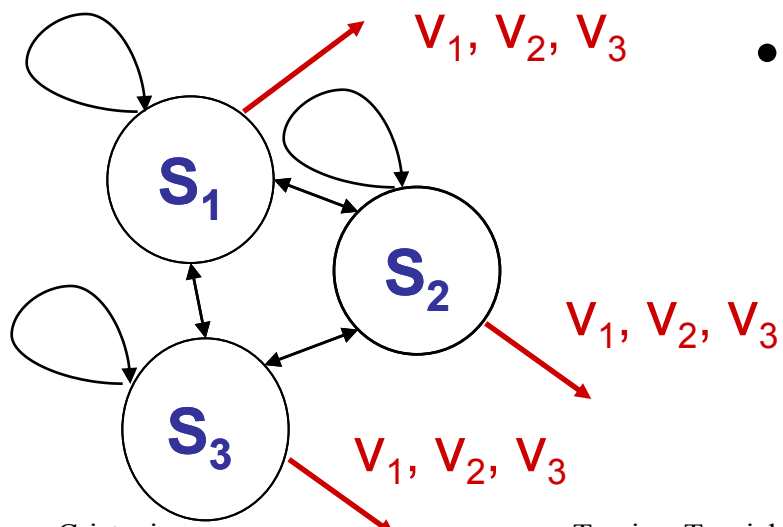


Limiti dei modelli markoviani



- Meglio: il sistema evolve grazie a degli **stati “nascosti”** (gli stati del semaforo, che però non vedo e di cui ignoro l'esistenza) di cui riesco ad **osservare** solo le probabili “conseguenze”, ossia i flussi delle auto

Limiti dei modelli markoviani

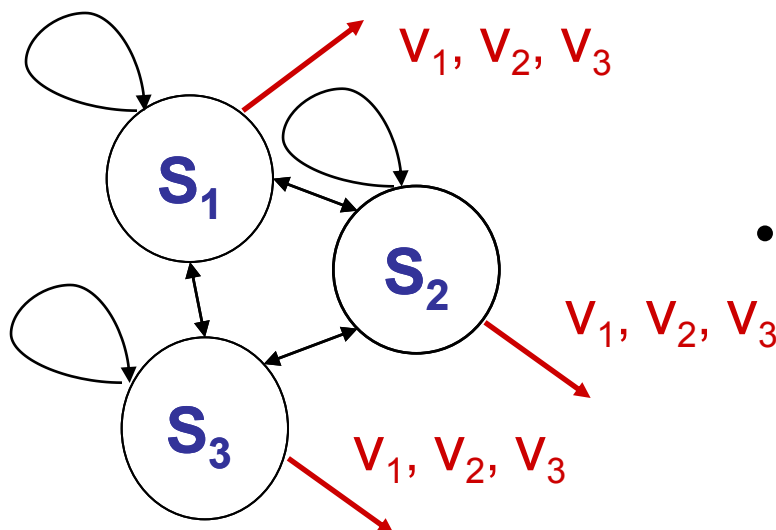


- Rinuncio a dare un nome agli stati, li penso come entità nascoste e *identificabili solo tramite osservazioni* (i flussi delle auto)
- Stabilisco una **relazione tra osservazione e stato nascosto.**

Modelli markoviani a stati nascosti (HMM)



- Gli Hidden Markov Model si inseriscono in questo contesto
- Descrivono **probabilisticamente** la *dinamica di un sistema* rinunciando ad identificarne direttamente le cause
- Gli *stati* sono identificabili solamente tramite le *osservazioni*, in maniera **probabilistica**.



Hidden Markov Model (HMM)

- Classificatore statistico di sequenze, molto utilizzato negli ultimi anni in diversi contesti
- Tale modello può essere inteso come estensione del modello di Markov dal quale differisce per la non osservabilità dei suoi stati
- Suppongo ora di avere un HMM addestrato, ossia in grado di descrivere un sistema stocastico come descritto sopra ...

HMM definizione formale

- Un HMM (discreto) è formato da:

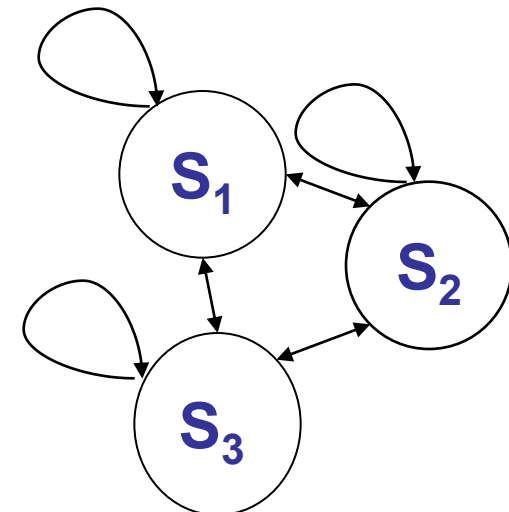
- Un insieme $S=\{s_1, s_2, \dots, s_N\}$ di stati nascosti;
- Una matrice di transizione $A=\{a_{ij}\}$, tra stati nascosti $1 \leq i, j \leq N$
- Una distribuzione iniziale sugli stati nascosti $\pi=\{\pi_i\}$,

$\pi =$

$\pi_1 = 0.33$	$\pi_2 = 0.33$	$\pi_3 = 0.33$
----------------	----------------	----------------

$A =$

$a_{11} = 0.1$	$a_{12} = 0.9$	$a_{13} = 0$
$a_{21} = 0.01$	$a_{22} = 0.2$	$a_{23} = 0.79$
$a_{31} = 1$	$a_{32} = 0$	$a_{33} = 0$



HMM: definizione formale

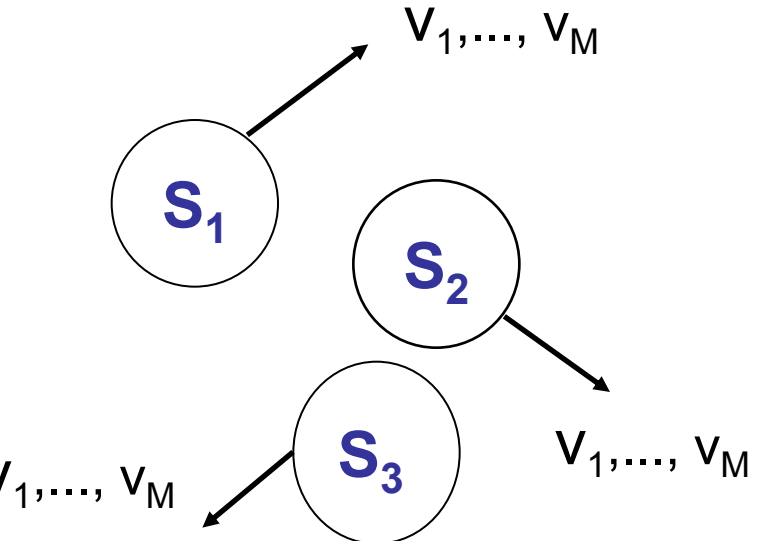
- Un insieme $V=\{v_1, v_2, \dots, v_M\}$ di simboli d'osservazione;

- Una distribuzione di probabilità sui simboli d'osservazione

$B=\{b_{jk}\}=\{b_j(v_k)\}$, che indica la probabilità di emissione del simbolo v_k quando lo stato del sistema è s_j ,
 $P(v_k|s_j)$

$B=$

$b_{11}=0.8$	$b_{21}=0.1$	$b_{31}=0.1$
$b_{12}=0.1$	$b_{22}=0.8$	$b_{32}=0.1$
$b_{1M}=0.1$	$b_{2M}=0.1$	$b_{3M}=0.8$



HMM: definizione formale

- Denotiamo una HMM con una tripla $\lambda = (A, B, \pi)$

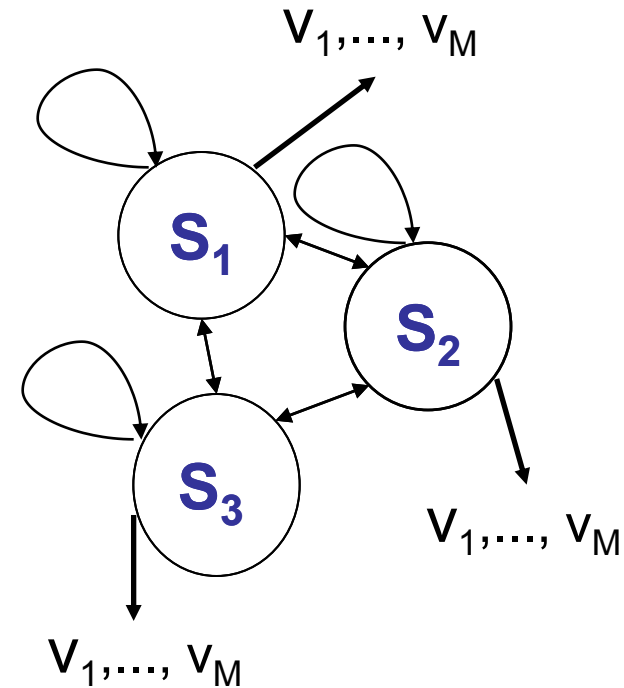
$$\pi = \begin{matrix} \pi_1 = 0.33 & \pi_2 = 0.33 & \pi_3 = 0.33 \end{matrix}$$

A =

$$A = \begin{matrix} a_{11} = 0.1 & a_{12} = 0.9 & a_{13} = 0 \\ a_{21} = 0.01 & a_{22} = 0.2 & a_{23} = 0.79 \\ a_{31} = 1 & a_{32} = 0 & a_{33} = 0 \end{matrix}$$

B =

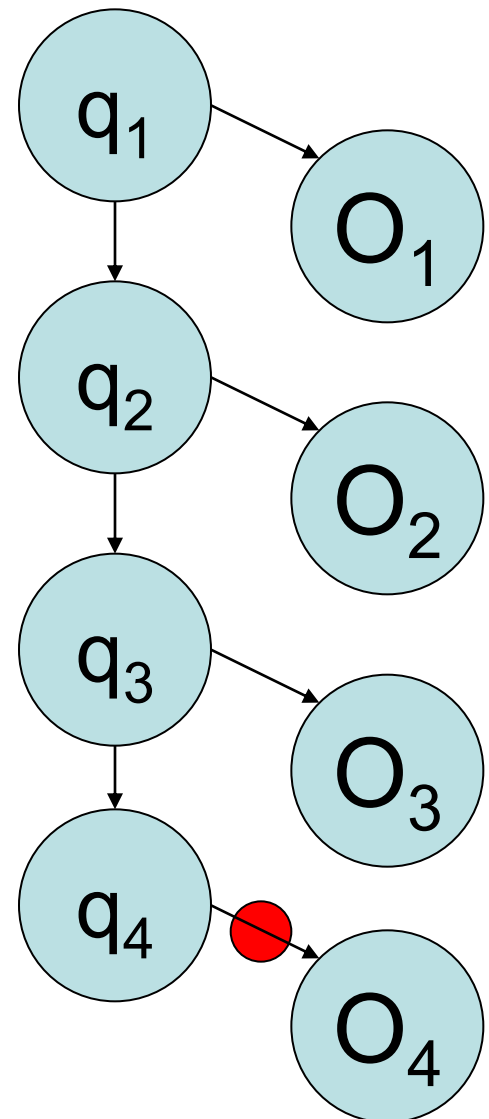
$$B = \begin{matrix} b_{11} = 0.8 & b_{21} = 0.1 & b_{31} = 0.1 \\ b_{12} = 0.1 & b_{22} = 0.8 & b_{32} = 0.1 \\ b_{1M} = 0.1 & b_{2M} = 0.1 & b_{3M} = 0.8 \end{matrix}$$



Assunzioni sull'osservazione

- Indipendenze condizionali

$$\begin{aligned} P(O_t = X | q_t = s_j, q_{t-1}, q_{t-2}, \dots, q_2, q_1, \\ O_{t-1}, O_{t-2}, \dots, O_2, O_1) \\ = P(O_t = X | q_t = s_j) \end{aligned}$$



Urn & Ball – An easy example

- N large urns with M coloured balls in each
- Urns are the states and balls are the observable events
- Transition matrix for changing between urns
- Each urn has observation probabilities to determine which ball is chosen

Urn & Ball – An Example



Urn 1



Urn 2



Urn 3

$$P(\text{red}) = b_1(1)$$

$$P(\text{blue}) = b_1(2)$$

$$P(\text{green}) = b_1(3)$$

$$P(\text{purple}) = b_1(4)$$

...

$$P(\text{red}) = b_2(1)$$

$$P(\text{blue}) = b_2(2)$$

$$P(\text{green}) = b_2(3)$$

$$P(\text{purple}) = b_2(4)$$

...

$$P(\text{red}) = b_3(1)$$

$$P(\text{blue}) = b_3(2)$$

$$P(\text{green}) = b_3(3)$$

$$P(\text{purple}) = b_3(4)$$

...

Urn & Ball – An Example

- Initial probability to determine first urn
- At each time interval:
 - Transition probability determines the urn
 - Observation probability determines the ball
 - Ball colour added to observed event sequence and returned to urn
- Transition probability dependent on previous urn

Example Sequence Creation using Urn Ball

1. From π , 1st urn = Urn 1
 2. Using $b_1(k)$, 1st ball = Red
 3. From a_{1j} , 2nd urn = Urn 3 etc...
- Get observation sequence
 - Red, Blue, Purple, Yellow, Blue, Blue
 - From state sequence
 - Urn1, Urn 3, Urn 3, Urn 1, Urn, 2, Urn 1

Problemi chiave del modello HMM

Evaluation

1. Data una stringa d'osservazione $\mathbf{O}=(O_1, O_2, \dots, O_t, \dots, O_T)$ calcolare $P(\mathbf{O} | \lambda) \rightarrow \text{procedura di forward}$

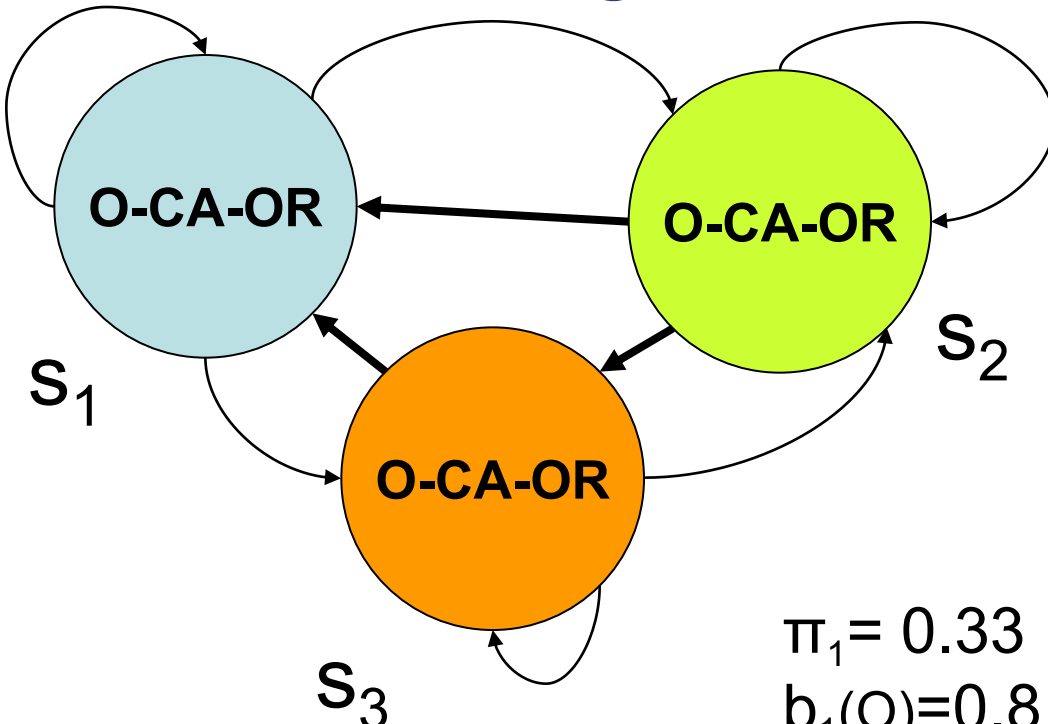
Decoding

2. Data una stringa d'osservazione \mathbf{O} e un modello HMM λ , calcolare la più probabile sequenza di stati $s_1 \dots s_T$ che ha generato $\mathbf{O} \rightarrow \text{procedura di Viterbi}$

Training

3. Dato un insieme di osservazioni $\{\mathbf{O}\}$, determinare il miglior modello HMM λ , cioè il modello per cui $P(\mathbf{O} | \lambda)$ è massimizzata $\rightarrow \text{procedura di Baum Welch (forward-backword)}$

HMM – generatore di stringhe



- 3 stati: s_1, s_2, s_3 ;
- 3 simboli: O, CA, OR

$$\pi_1 = 0.33$$

$$b_1(O) = 0.8$$

$$b_1(OR) = 0.1$$

$$b_1(CA) = 0.1$$

$$a_{11} = 0$$

$$a_{21} = 1/3$$

$$a_{31} = 1/2$$

$$\pi_2 = 0.33$$

$$b_2(O) = 0.1$$

$$b_2(OR) = 0.0$$

$$b_2(CA) = 0.9$$

$$a_{12} = 1$$

$$a_{22} = 2/3$$

$$a_{32} = 1/2$$

$$\pi_3 = 0.33$$

$$b_3(O) = 0.1$$

$$b_3(OR) = 0.8$$

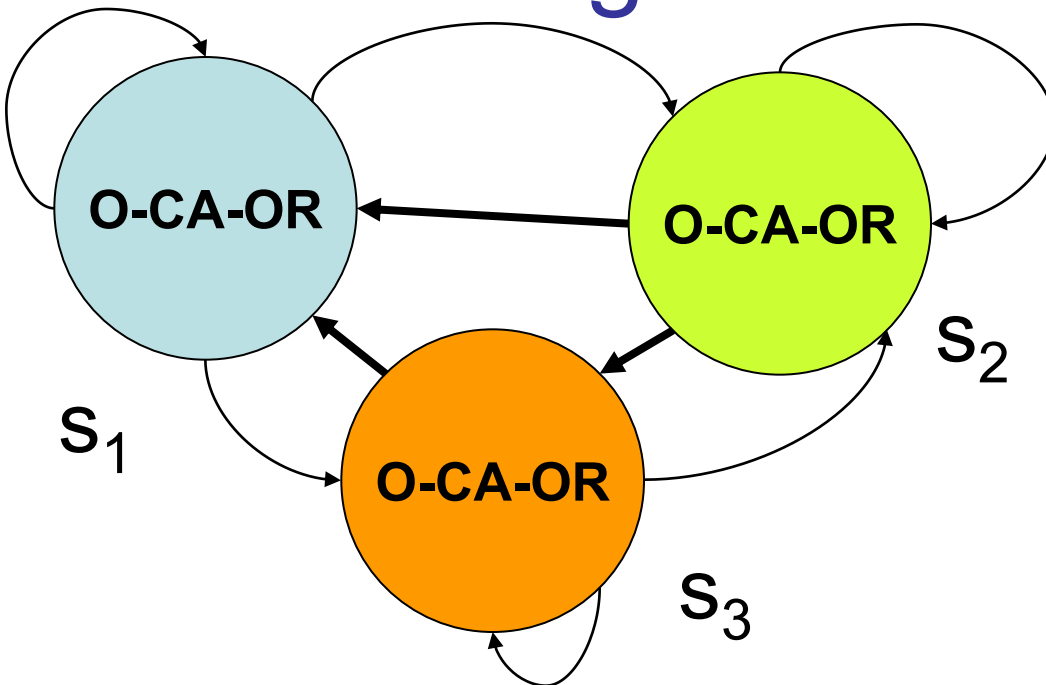
$$b_3(CA) = 0.1$$

$$a_{13} = 0$$

$$a_{23} = 0$$

$$a_{33} = 0$$

HMM – generatore di stringhe



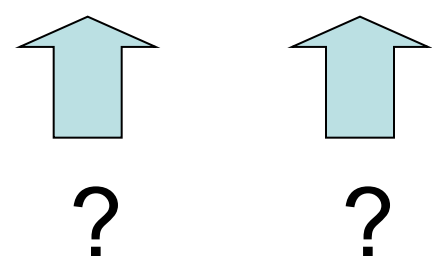
$q_0 =$	S_2	$O_1 =$	CA
$q_1 =$	S_2	$O_2 =$	CA
$q_2 =$	S_1	$O_3 =$	O

Il nostro problema è
che gli stati non
sono direttamente
osservabili!

$q_0 =$?	$O_1 =$	CA
$q_1 =$?	$O_2 =$	CA
$q_2 =$?	$O_3 =$	O

Problema 1: Probabilità di una serie di osservazioni

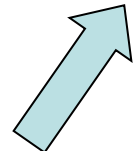
- $P(\mathbf{O}) = P(O_1, O_2, O_3) = P(O_1 = \text{CA}, O_2 = \text{CA}, O_3 = \text{O})?$
- Strategia forza bruta:

$$\begin{aligned} - P(\mathbf{O}) &= \sum_{\mathbf{Q} \in \text{cammini di lunghezza 3}} P(\mathbf{O}, \mathbf{Q}) \\ &= \sum P(\mathbf{O} | \mathbf{Q}) P(\mathbf{Q}) \end{aligned}$$


Problema 1: Probabilità di una serie di osservazioni

- $P(O) = P(O_1, O_2, O_3) = P(O_1 = X, O_2 = X, O_3 = Z)$?
- Strategia forza bruta:

$$\begin{aligned} - P(O) &= \sum P(O, Q) \\ &= \sum P(O|Q) P(Q) \end{aligned}$$



$$\begin{aligned} P(Q) &= P(q_1, q_2, q_3) = \\ &= P(q_1)P(q_2, q_3 | q_1) \\ &= P(q_1)P(q_2 | q_1)P(q_3 | q_2) \\ \text{Nel caso } Q &= S_2 S_2 S_1 \end{aligned}$$

$$\begin{aligned} &= \pi_2 a_{22} a_{21} \\ &= 1/3 * 2/3 * 1/3 = 2/27 \end{aligned}$$

Problema 1: Probabilità di una serie di osservazioni

- $P(O) = P(O_1, O_2, O_3) = P(O_1 = X, O_2 = X, O_3 = Z)$?
- Strategia forza bruta:

$$- P(O) = \sum P(O, Q)$$

$$\begin{aligned} &= \sum P(O|Q)P(Q) \end{aligned}$$

$P(O|Q)$
 $= P(O_1, O_2, O_3 | q_1, q_2, q_3)$
 $= P(O_1 | q_1)P(O_2 | q_2)P(O_3 | q_3)$

Nel caso $Q = S_2 S_2 S_1$
 $= 9/10 * 9/10 * 8/10 = 0.648$

Osservazioni

- Le precedenti computazioni risolvono **solo un termine della sommatoria**; per il calcolo di $P(O)$ sono necessarie 27 $P(Q)$ e 27 $P(O|Q)$
- Per una sequenza da 20 osservazioni necessitiamo di 3^{20} $P(Q)$ e 3^{20} $P(O|Q)$
- Esiste un modo più efficace, che si basa sulla definizione di una particolare probabilità
- In generale:

$$P(O|\lambda) = \sum_{\text{All sequences } Q_1, \dots, Q_T} \pi_{Q_1} b_{Q_1}(O_1) a_{Q_1 Q_2} b_{Q_2}(O_2) a_{Q_2 Q_3} \dots$$

è di complessità elevata, $O(N^T T)$, dove N è il numero degli stati, T lunghezza della sequenza

Procedura Forward

- Date le osservazioni O_1, O_2, \dots, O_T definiamo
$$\alpha_t(i) = P(O_1, O_2, \dots, O_t, q_t=s_i | \lambda), \text{ dove } 1 \leq t \leq T$$
ossia:
 - Abbiamo visto le prime t osservazioni
 - Siamo finiti in s_i , come t -esimo stato visitato
- Tale probabilità si può definire ricorsivamente:

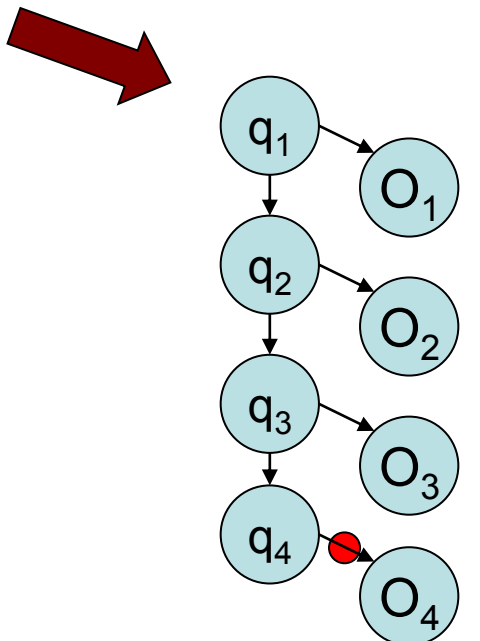
$$\alpha_1(i) = P(O_1, q_1=s_i) = P(q_1=s_i)P(O_1|q_1=s_i) = \pi_i b_i(O_1)$$

- Per ipotesi induttiva $\alpha_t(i) = P(O_1, O_2, \dots, O_t, q_t=s_i | \lambda)$
- Voglio calcolare:

$$\alpha_{t+1}(j) = P(O_1, O_2, \dots, O_t, O_{t+1}, q_{t+1}=s_j | \lambda)$$

$$\alpha_{t+1}(j) = P(O_1, O_2, \dots, O_t, O_{t+1}, q_{t+1}=s_j)$$

$$\begin{aligned}
 &= P(O_1, O_2, \dots, O_t, O_{t+1}, q_{t+1}=s_j) \\
 &= \sum_{i=1}^N P(O_{t+1}, q_{t+1}=s_j | O_1, O_2, \dots, O_t, q_t=s_i) P(O_1, O_2, \dots, O_t, q_t=s_i) \\
 &= \sum_{i=1}^N P(O_{t+1}, q_{t+1}=s_j | q_t=s_i) \alpha_t(i) \quad \text{p.i.i.} \\
 &= \sum_{i=1}^N P(q_{t+1}=s_j | q_t=s_i) P(O_{t+1} | q_{t+1}=s_j) \alpha_t(i) \\
 &= \sum_{i=1}^N [\alpha_t(i)] b_j(O_{t+1})
 \end{aligned}$$



Risposta al problema 1: evaluation

- Data $O_1, O_2, \dots, O_t, \dots, O_T$ e conoscendo
 $\alpha_t(i) = P(O_1, O_2, \dots, O_t, q_t=s_i | \lambda)$
- Possiamo calcolare:

$$P(O_1, O_2, \dots, O_T) = \sum_{i=1}^N \alpha_T(i)$$

di complessità $O(N^2T)$

- Ma anche altre quantità utili, per esempio:

$$P(q_t=s_i | O_1, O_2, \dots, O_t) = \frac{\alpha_t(i)}{\sum_{j=1}^N \alpha_t(j)}$$

Risposta al problema 1: evaluation

- Alternativamente si può calcolare ricorsivamente introducendo un'altra variabile, cosiddetta *backward* (α è quella *forward*)

$$\begin{aligned}\beta_t(j) &= P(O_{t+1} \dots O_T | q_t = s_j, \lambda) = \\ &= \sum_{i=1}^N \pi_{t+1}(i) a_{ij} b_j(O_{t+1})\end{aligned}$$

e quindi

$$\begin{aligned}P(O|\lambda) &= \sum_{j=1}^{N_T} (\alpha_j) \beta_t(j) \quad \forall \\ &= \sum_{j=1}^{N_T} (\alpha_j) \quad \text{verificare!!}\end{aligned}$$

Problema 2: Cammino più probabile (*decoding*)

- Qual'è il cammino di stati più probabile (MPP) che ha generato O_1, O_2, \dots, O_T ? Ossia quanto vale

$$\operatorname{argmax}_Q P(Q | O_1 O_2 \dots O_T) ?$$

- Strategia forza bruta:

$$\operatorname{argmax}_Q \frac{P(O_1 O_2 \dots O_T | Q) P(Q)}{P(O_1 O_2 \dots O_T)}$$

$$\propto \operatorname{argmax}_Q P(O_1 O_2 \dots O_T | Q) P(Q)$$

Calcolo efficiente di MPP

- Definiamo la seguente probabilità:

$$\delta_i = \max_{q_1 q_2 \dots q_{t-1}} P(q_1 q_2 \dots q_{t-1}, q_t = s_i, O_1 O_2 \dots O_t)$$

ossia la massima probabilità dei cammini di lunghezza t-1 i quali:

- occorrono
- finiscono nello stato s_i
- producono come output O_1, O_2, \dots, O_t
- Si cerca la singola miglior sequenza di stati singoli (path) massimizzando $P(Q|O, \lambda)$
- La soluzione a questo problema è una tecnica di programmazione dinamica chiamata l'algoritmo di Viterbi
 - Si cerca il più probabile stato singolo alla posizione i-esima date le osservazioni e gli stati precedenti

Algoritmo di Viterbi

1) Initialization:

$$\delta_1(i) = \pi_i b_i(O_1), \quad 1 \leq i \leq N$$

$$\psi_1(i) = 0.$$

Per induzione abbiamo

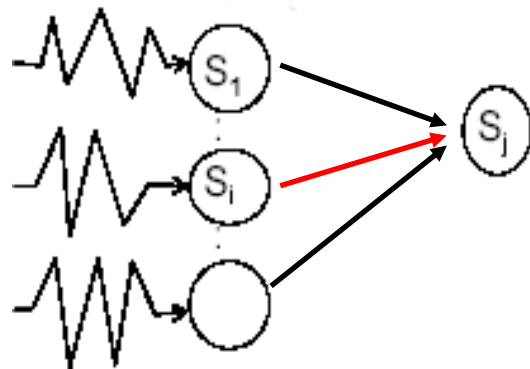
$$\delta_{t+1}(j) = [\max_i \delta_t(i) a_{ij}] \cdot b_j(O_{t+1}).$$

Algoritmo di Viterbi

2) Recursion:

$$\delta_t(j) = \max_{1 \leq i \leq N} [\delta_{t-1}(i) a_{ij}] b_j(O_t), \quad 2 \leq t \leq T$$
$$1 \leq j \leq N$$

$$\psi_t(j) = \operatorname{argmax}_{1 \leq i \leq N} [\delta_{t-1}(i) a_{ij}], \quad 2 \leq t \leq T$$
$$1 \leq j \leq N.$$



ATTENZIONE:
calcolato
per ogni j !

Algoritmo di Viterbi

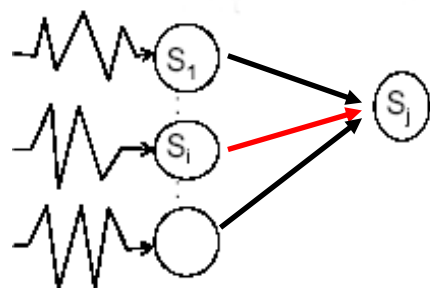
3) Termination:

$$P^* = \max_{1 \leq i \leq N} [\delta_T(i)]$$

$$q_T^* = \operatorname{argmax}_{1 \leq i \leq N} [\delta_T(i)].$$

4) Path (state sequence) backtracking:

$$q_t^* = \psi_{t+1}(q_{t+1}^*), \quad t = T - 1, T - 2, \dots, 1.$$



Problema 3: Addestramento di HMM

- Si parla di processo di *addestramento* di HMM, o *fase di stima di parametri*, in cui i parametri di $\lambda=(A, B, \pi)$, vengono stimati dalle *osservazioni di training*
- Di solito si usa la stima Maximum Likelihood

$$\lambda^* = \underset{\lambda}{\operatorname{argmax}} P(O_1 O_2 \dots O_T | \lambda)$$

- Ma si possono usare anche altre stime

$$\max_{\lambda} P(\lambda | O_1 O_2 \dots O_T)$$

Stima ML di HMM: procedura di ri-stima di Baum Welch

Definiamo

- $\gamma_t(i) = P(q_t = i | O_1 O_2 \dots O_T, \lambda)$
- $\xi_t(i, j) = P(q_t = i, q_{t+1} = j | O_1 O_2 \dots O_T, \lambda)$

Tali quantità possono essere calcolate efficientemente (cfr. Rabiner)

$$\sum_{j=1}^n \xi_t(i, j) = \gamma_t(i)$$

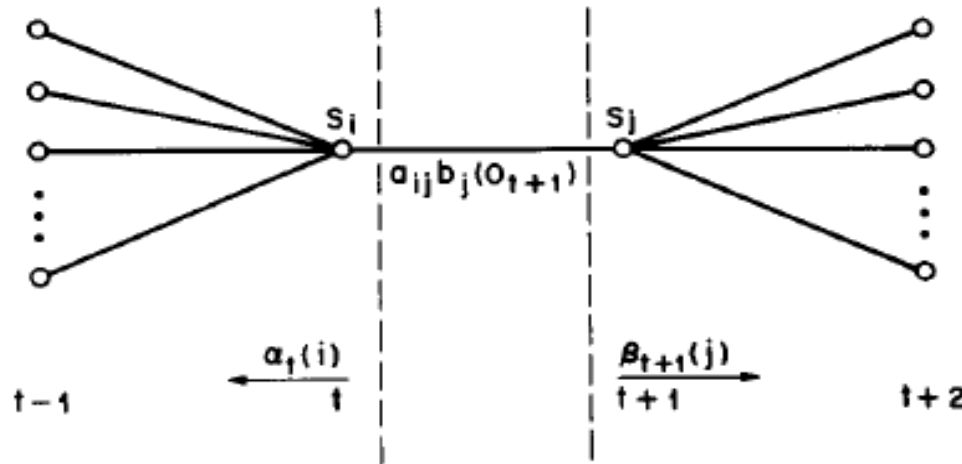
$$\sum_{t=1}^{T-1} \xi_t(i, j) = \text{numero atteso di transizioni dallo stato } i \text{ allo stato } j \text{ durante il cammino}$$

$$\sum_{t=1}^{T-1} \gamma_t(i) = \text{numero atteso di transizioni passanti dallo stato } i \text{ durante il cammino}$$

- Usando le variabili forward e backward, ξ è anche calcolabile come

$$\begin{aligned}\xi_t(i, j) &= \frac{\alpha_t(i) \ a_{ij} b_j(O_{t+1}) \ \beta_{t+1}(j)}{P(O|\lambda)} \\ &= \frac{\alpha_t(i) \ a_{ij} b_j(O_{t+1}) \ \beta_{t+1}(j)}{\sum_{i=1}^N \sum_{j=1}^N \alpha_t(i) \ a_{ij} b_j(O_{t+1}) \ \beta_{t+1}(j)}\end{aligned}$$

(E step)



Stima ML di HMM: procedura di ri-stima di Baum Welch

$\bar{\pi}_i$ = expected frequency (number of times) in state S_i at time ($t = 1$) = $\gamma_1(i)$

$$\bar{a}_{ij} = \frac{\text{expected number of transitions from state } S_i \text{ to state } S_j}{\text{expected number of transitions from state } S_i}$$

$$= \frac{\sum_{t=1}^{T-1} \xi_t(i, j)}{\sum_{t=1}^{T-1} \gamma_t(i)}$$

$$\bar{b}_j(k) = \frac{\text{expected number of times in state } j \text{ and observing symbol } v_k}{\text{expected number of times in state } j}$$

$$= \frac{\sum_{t=1}^T \gamma_t(j) \text{ s.t. } O_t = v_k}{\sum_{t=1}^T \gamma_t(j)}.$$

Formule di ri-stima dei parametri
(M step)

Algoritmo di Baum-Welch

- Tali quantità vengono utilizzate nel processo di stima dei parametri dell'HMM in modo iterativo
- Si utilizza una variazione dell'algoritmo di Expectation-Maximization (EM)
 - che esegue un'ottimizzazione locale
 - massimizzando la log-likelihood del modello rispetto ai dati

$$\lambda_{\text{opt}} = \arg \max \log P(\{\mathbf{O}_t\} | \lambda)$$

EM - BAUM WELCH (2)

- Conoscendo le quantità quali:
 - numero atteso di transizioni uscenti dallo stato i durante il cammino,
 - numero atteso di transizioni dallo stato i allo stato j durante il cammino,potremmo calcolare le stime correnti ML di λ , = $\bar{\lambda}$, ossia

$$\bar{\lambda} = \bar{A}, \bar{B}, \pi$$

- Tali considerazioni danno luogo all'algoritmo di Baum-Welch

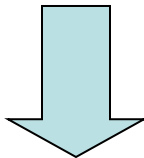
- Algoritmo:
 - 1) inizializzo il modello $\lambda = (A_0, B_0, \pi_0)$
 - 2) il modello corrente è $\lambda = \lambda$
 - 3) uso il modello λ per calcolare la parte dx delle formule di ri-stima, ie., la statistica (**E step**)
 - 4) uso la statistica per la ri-stima dei parametri ottenendo il nuovo modello $\lambda = (\bar{A}, \bar{B}, \bar{\pi})$ (**M step**)
 - 5) vai al passo 2, finchè non si verifica la terminazione
- Baum ha dimostrato che ad ogni passo:

$$P(O_1, O_2, \dots, O_T | \lambda) > P(O_1, O_2, \dots, O_T | \lambda')$$
- Condizioni di terminazione usuali:
 - dopo un numero fissato di cicli
 - convergenza del valore di likelihood

HMM training

Fundamental issue:

- Baum-Welch is a gradient-descent optimization technique (local optimizer)
- the log-likelihood is highly multimodal



- initialization of parameters can crucially affect the convergence of the algorithm

Some open issues/research trends

1. Model selection
 - how many states?
 - which topology?
2. Extending standard models
 - modifying dependencies or components
3. Injecting discriminative skills into HMM

Some open issues/research trends

1. Model selection

- how many states?
- which topology?

2. Extending standard models

- modifying dependencies or components

3. Injecting discriminative skills into HMM

Model selection

- The problem of determining the HMM structure:
 - not a new problem, but still a not completely solved issue
1. Choosing the number of states: the “standard” model selection problem
 2. Choosing the topology: forcing the absence or the presence of connections

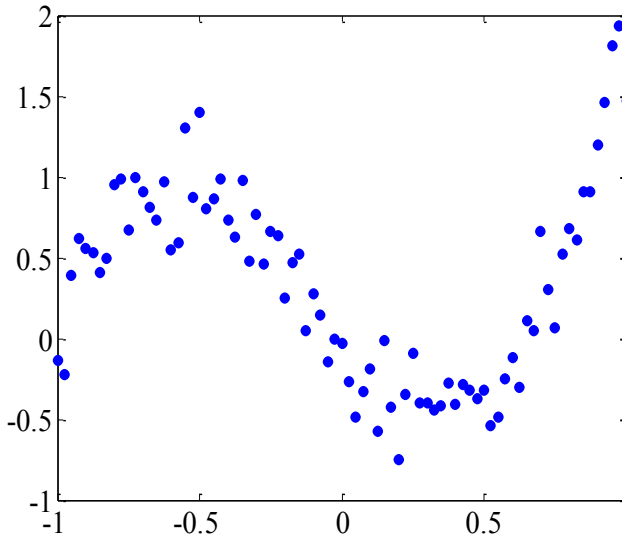
Model selection problem 1: selecting the number of states

- Number of states: prevents overtraining
- The problem could be addressed using standard model selection approaches

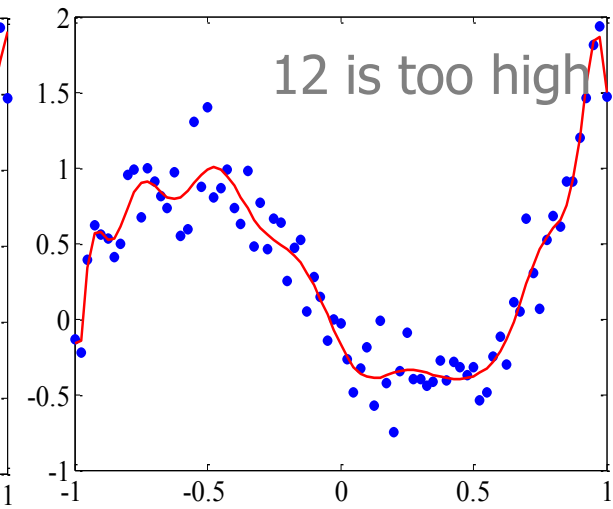
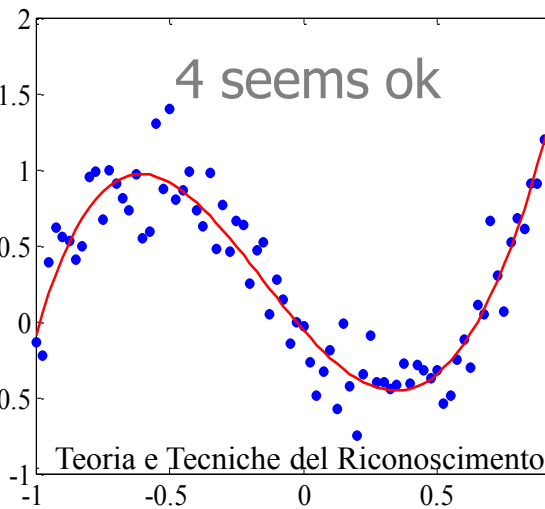
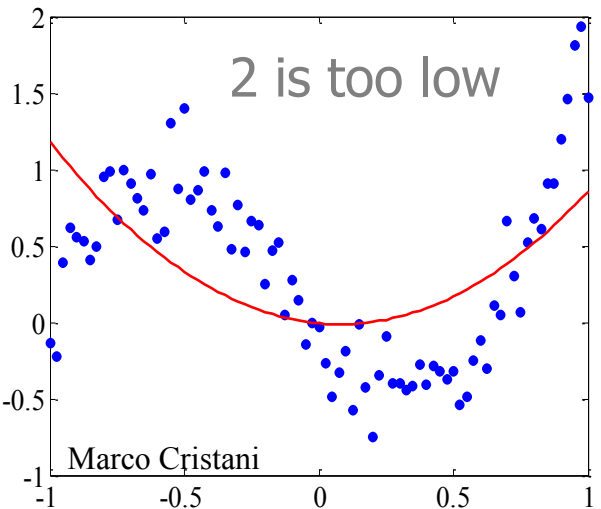
...let's understand the concept with a toy example

What is model selection?

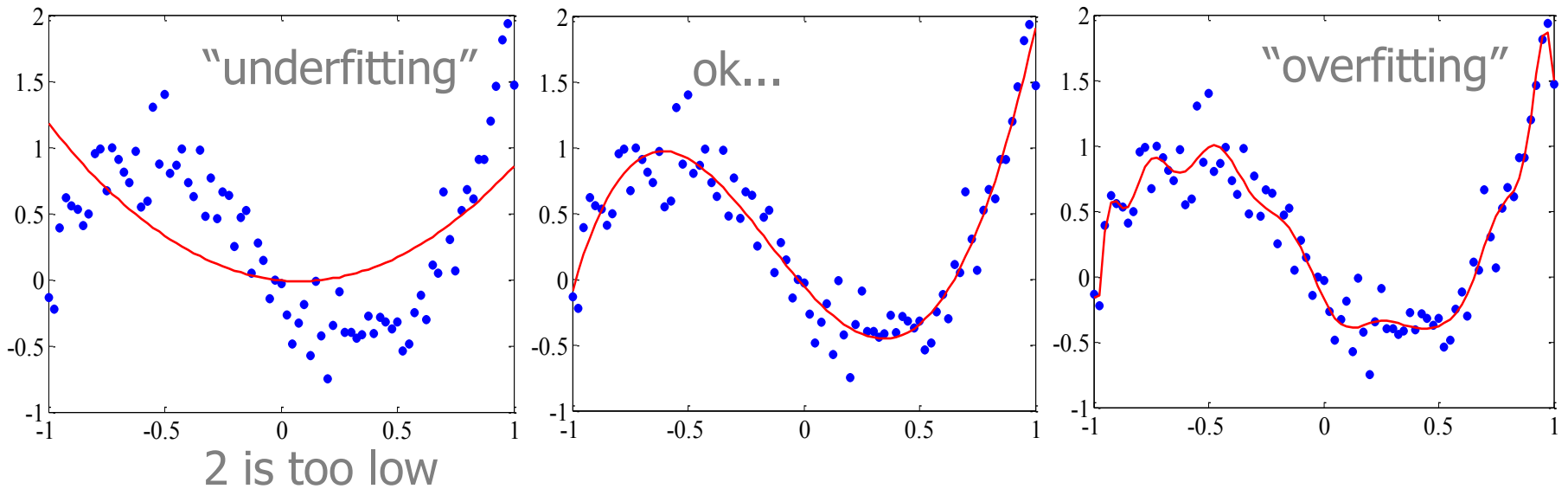
Toy example: some experimental data to which we want to fit a polynomial.



The model selection question is: which order?



What is model selection?



Model selection goal:

how to identify the underlying trend of
the data, ignoring the noise?

Model selection: solutions

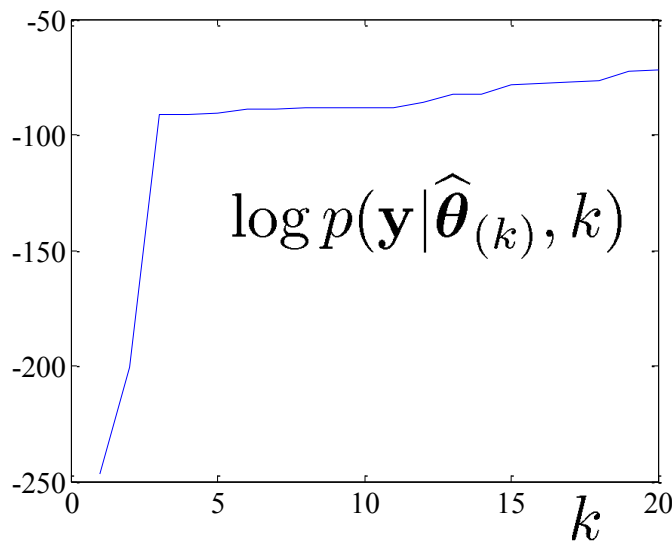
- Typical solution (usable for many probabilistic models)
 - train several models with different orders k
 - choose the one maximizing an “optimality” criterion

Which “optimality” criterion?

- First naive solution: maximizing likelihood of data w.r.t. model

Maximizing Log Likelihood

- Problem: Log Likelihood is not decreasing when augmenting the order



Not applicable criterion!

Alternative: penalized likelihood

- Idea: find a compromise between fitting accuracy and simplicity of the model
- Insert a “penalty term” which grows with the order of the model and discourages highly complex models

$$K_{\text{best}} = \arg \max_k (LL(y|\theta_k) - C(k))$$

↑
complexity penalty

Examples: BIC, MDL, MML, AIC, ...

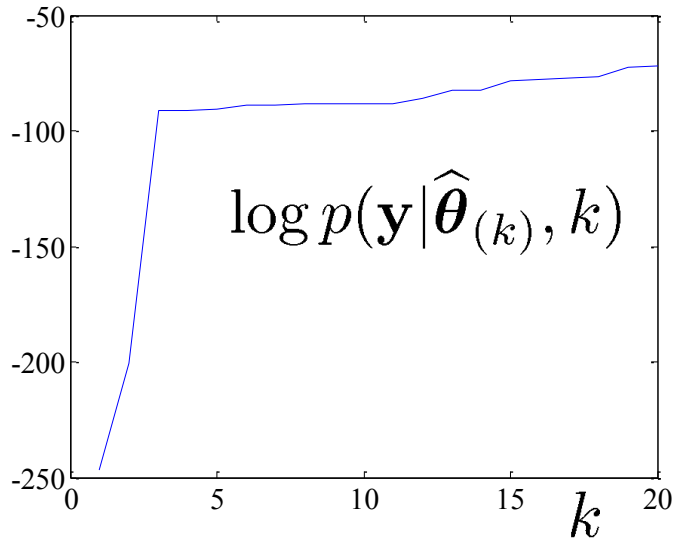
Alternative: penalized likelihood

- Example: Bayesian inference criterion (BIC) [Schwartz, 1978]

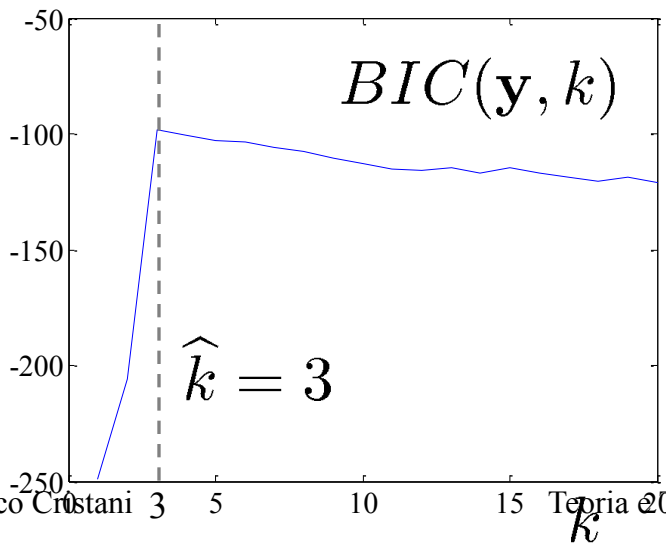
$$k_{\text{best}} = \arg \max_k \left\{ LL(y | \theta_k) - \frac{k}{2} \log(n) \right\}$$

↑
increases with k ↑
decreases with k
(penalizes larger k)

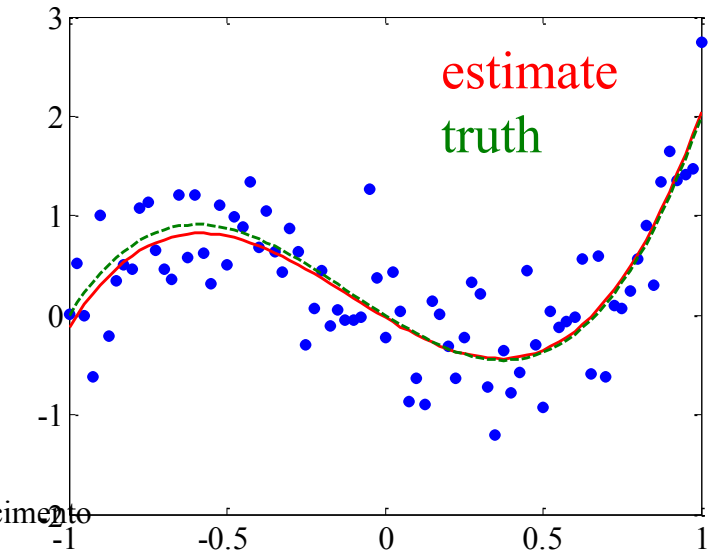
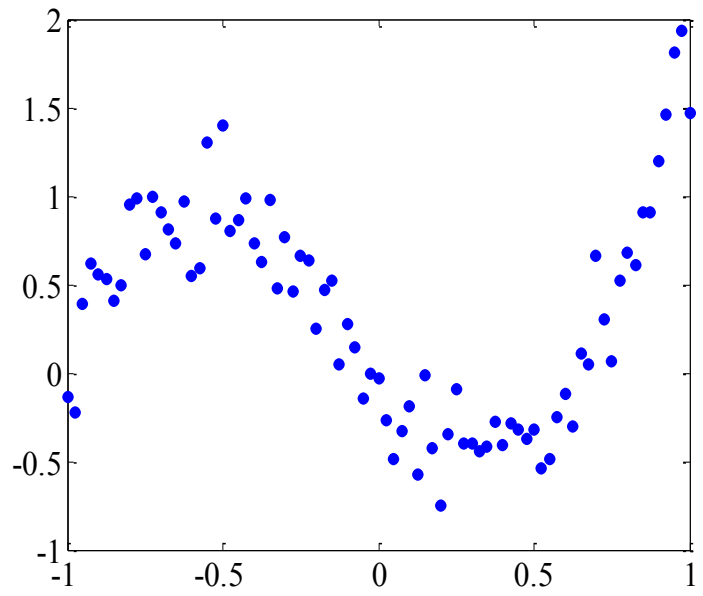
Back to the polynomial toy example



$$\log p(\mathbf{y} | \hat{\boldsymbol{\theta}}_{(k)}, k)$$



$$\hat{k} = 3$$



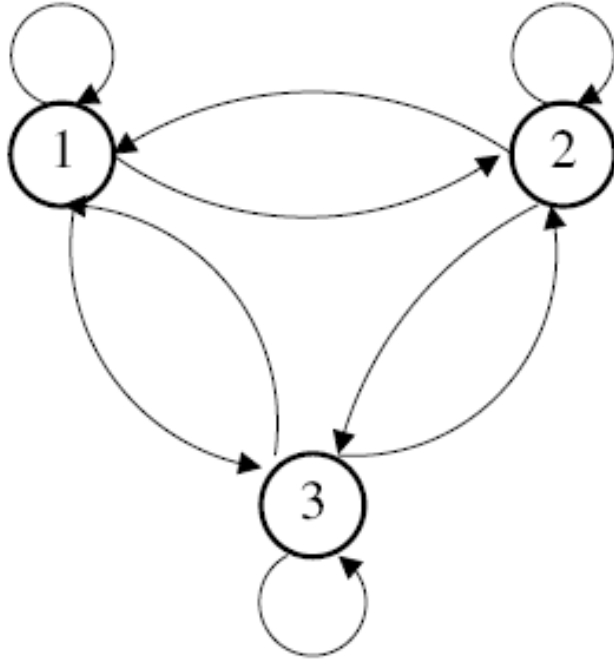
estimate
truth

Some more HMM-oriented solutions

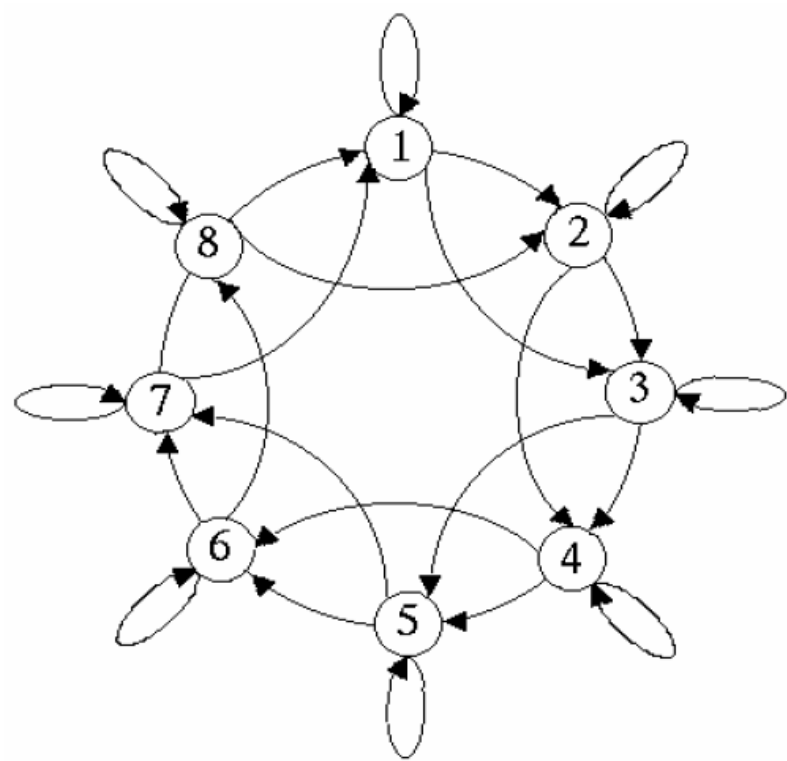
- Application driven model selection:
states have some physical meaning
[Hannaford,Lee IJRR 91]
- Split and merge approaches: starting
from an inappropriate but simple model,
the correct model is determined by
successively applying a splitting (or
merging) operation
[Ikeda 93] [Singer,Ostendorf ICASSP 96]
[Takami, Sagayama ICASSP 92]

Model selection problem 2: selecting the best topology

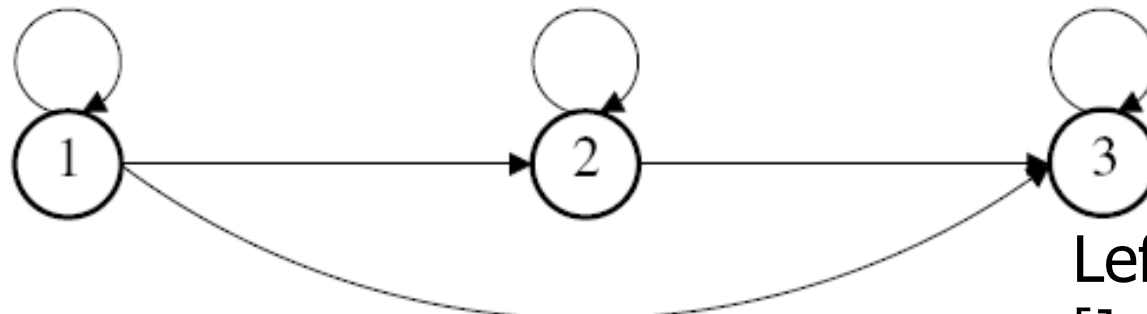
- Problem: forcing the absence or the presence of connections
- Typical ad-hoc solutions
 - ergodic HMM (no constraints)
 - left to right HMM (for speech)
 - circular HMM (for shape recognition)



standard ergodic HMM



circular HMM [Arica,Yarman-Vural
ICPR00]

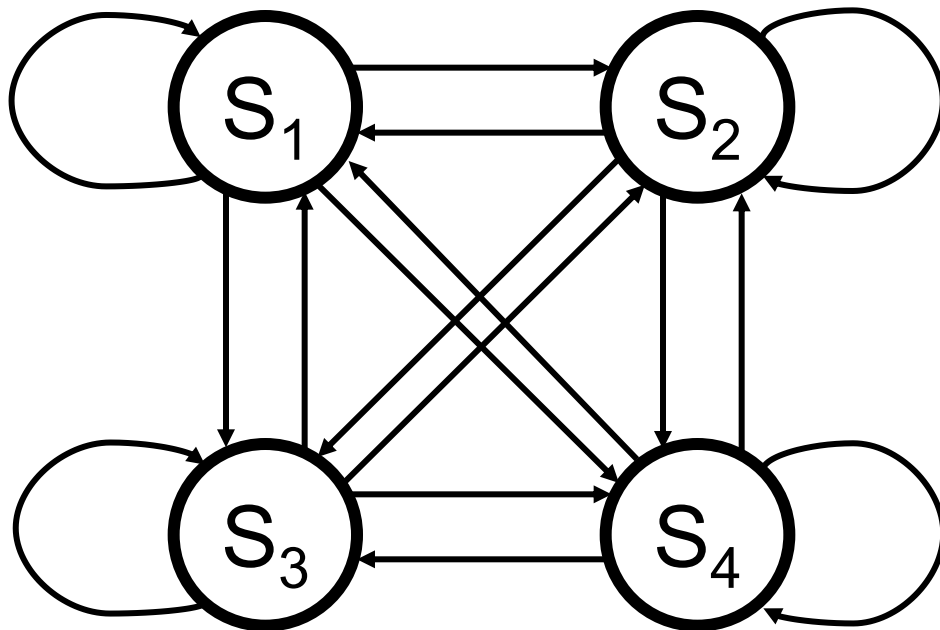


Left to right HMM
[Jelinek, Proc. IEEE 1976]

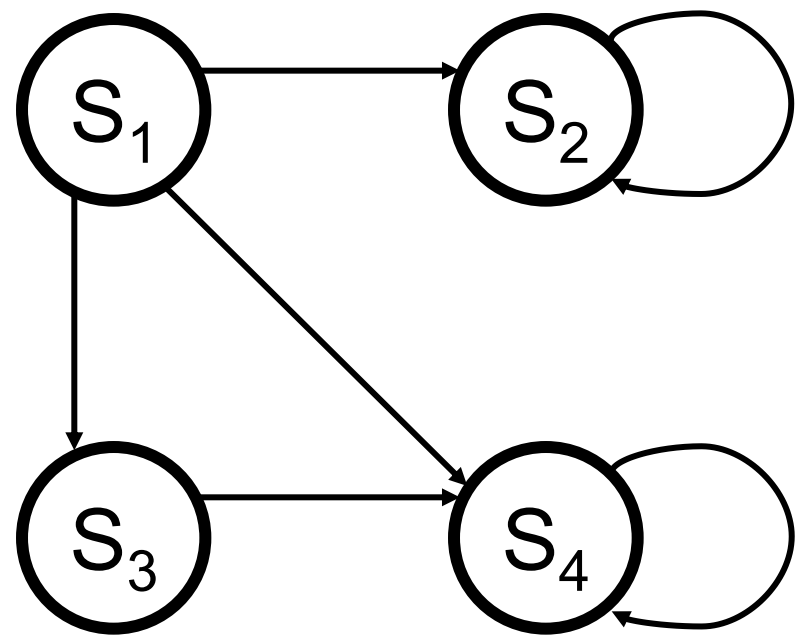
One data-driven solution

[Bicego, Cristani, Murino, ICIAP07]

*Sparse HMM: a HMM with a sparse topology
(irrelevant or redundant components are exactly 0)*



Fully connected model: all transitions are present



Sparse model: many transition probabilities are zero (no connections)

Some open issues/research trends

1. Model selection

- how many states?
- which topology?

2. Extending standard models

- modifying dependencies or components

3. Injecting discriminative skills into HMM

Extending standard models (1)

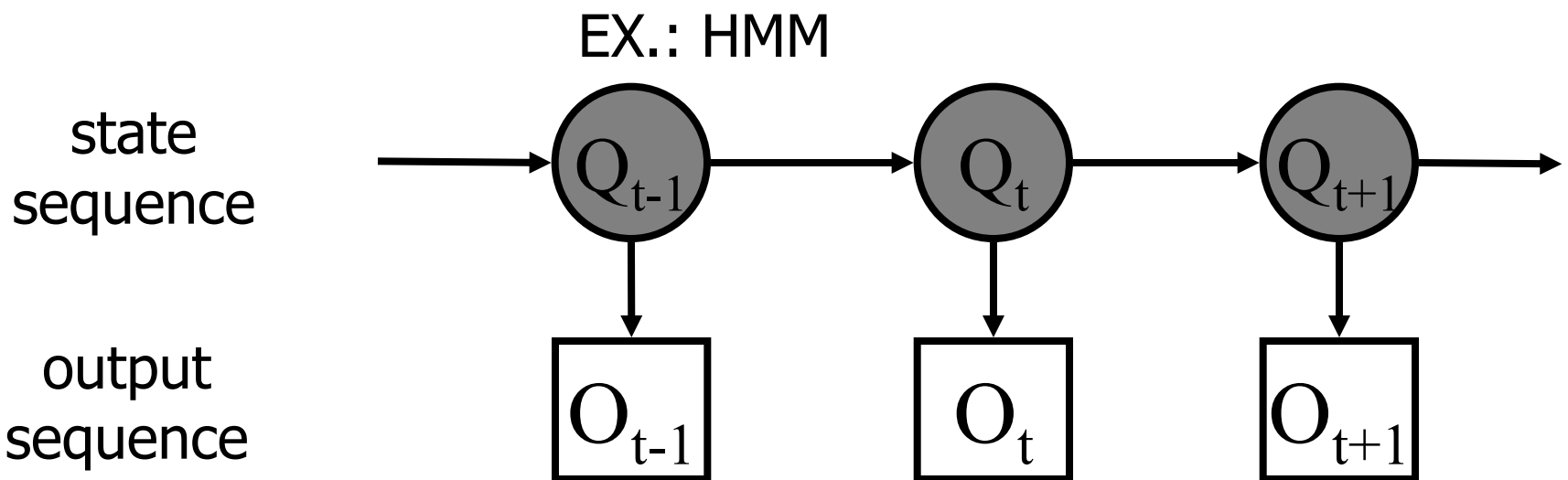
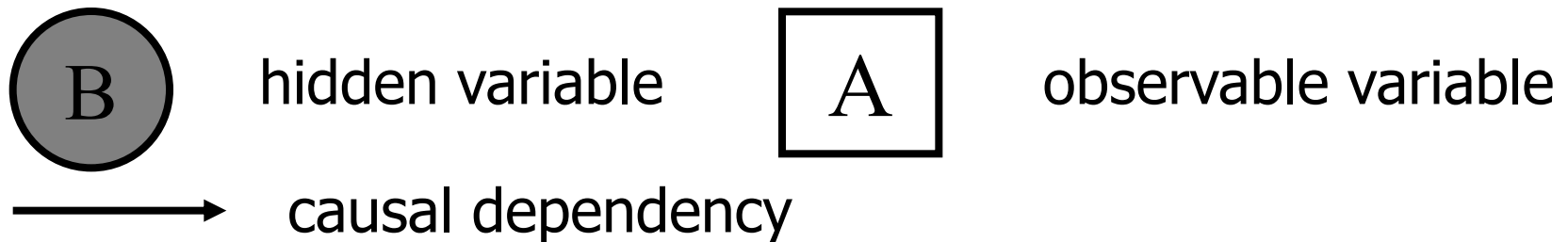
First extension:
adding novel dependencies between
components, in order to model different
behaviours

Examples:

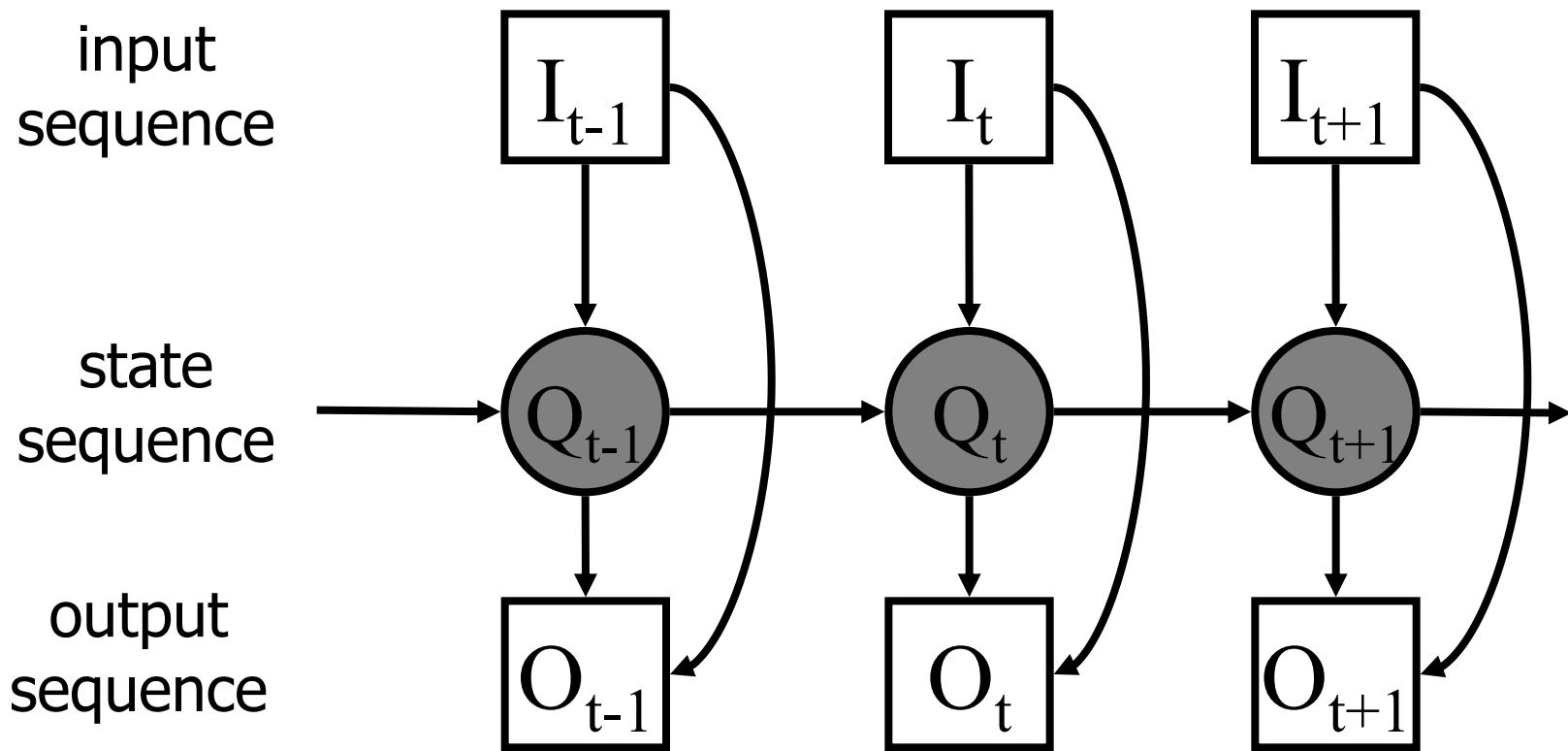
- Input/Output HMM
- Factorial HMM
- Coupled HMM
- ...

Preliminary note: the Bayesian Network formalism

Bayes Net: graph where nodes represent variables and edges represent causality

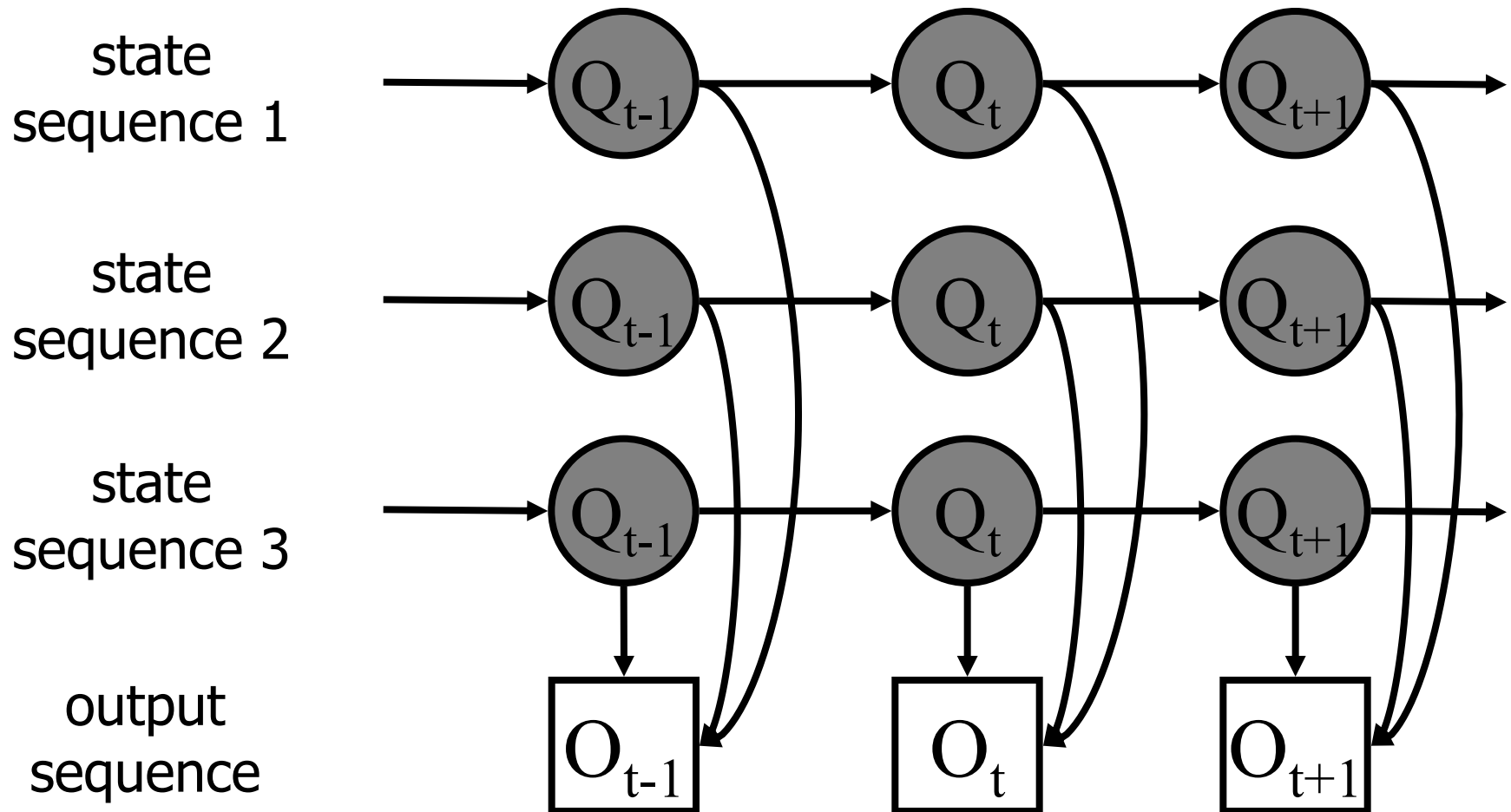


Input-Output HMM: HMM where transitions and emissions are conditional on another sequence (the input sequence)



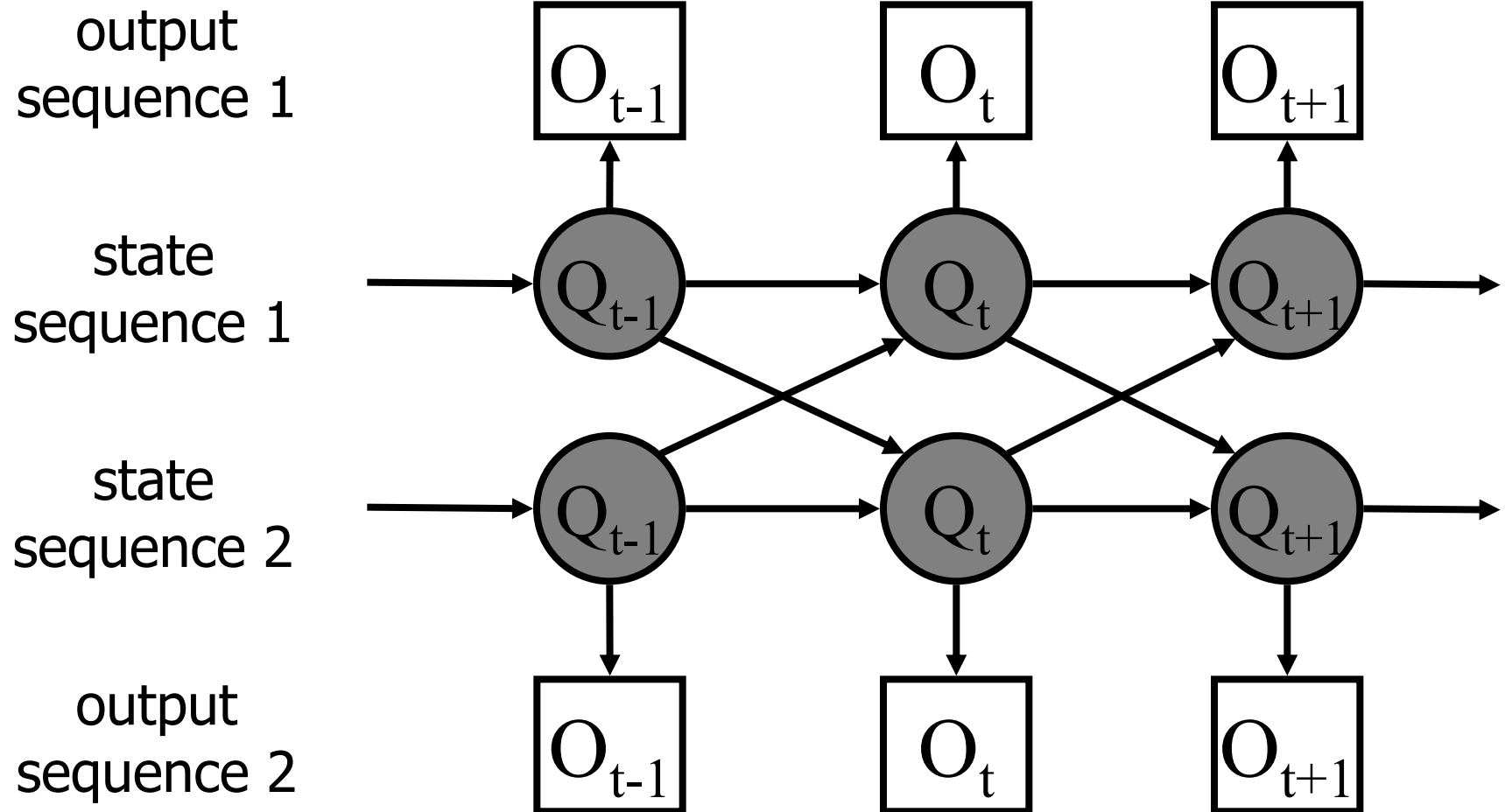
EX.: finance, the input sequence is a leading market index

Factorial HMM: more than one state-chain influencing the output



Ex.: speech recognition, where time series generated from several independent sources.

Coupled HMMs: two interacting HMMs



Ex.: video surveillance, for modelling complex actions like interacting processes

Extending standard models (2)

Second extension:
employing as emission probabilities (namely functions modelling output symbols) complex and effective techniques (classifier, distributions,...)

Examples:

- Neural Networks
[Bourlard, Wellekens, TPAMI 90],...
- Another HMM (to compose Hierarchical HMMs)
[Fine, Singer, Tishby, ML 98]
[Bicego, Grosso, Tistarelli, IVC 09]

Extending standard models (2)

Examples:

- Kernel Machines, such as SVM
- Factor analysis
 - [Rosti, Gales, ICASSP 02]
- Generalized Gaussian Distributions
 - [Bicego, Gonzalez-Jimenez, Alba-Castro, Grosso, ICPR 08]
- ...

Extending standard models (2)

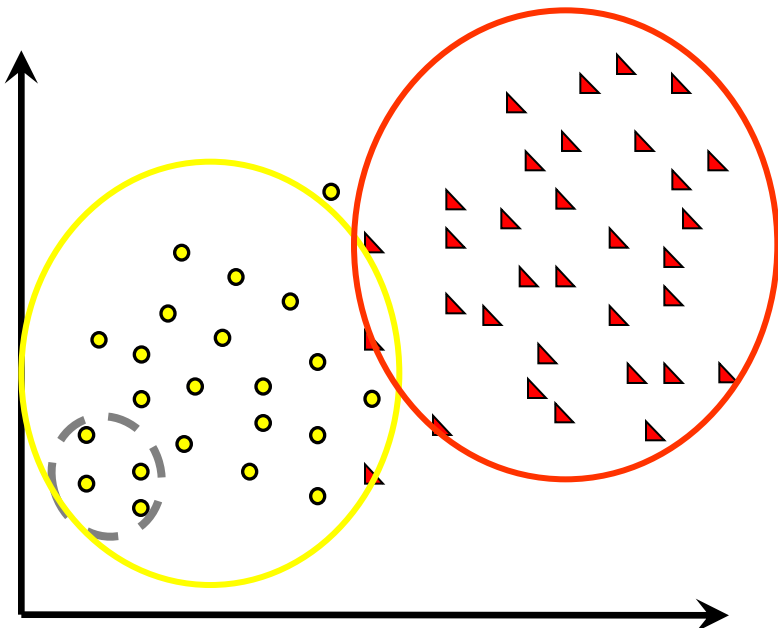
- Problems to be faced:
 - full integration of the training of each technique inside the HMM framework
 - “naive” solution: segment data and train separately emissions and other parameters
 - challenging solution: simultaneous training of all parameters
 - in case of Neural Networks or Kernel Machines, it is needed to cast the output of the classifier into a probability value

Some open issues/research trends

1. Model selection
 - how many states?
 - which topology?
2. Extending standard models
 - modifying dependencies or components
3. Injecting discriminative skills into HMM

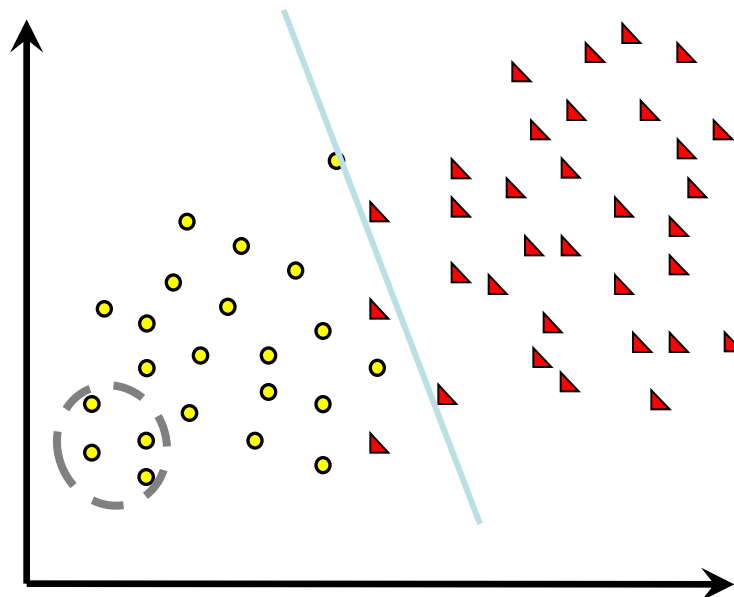
The general problem: generative vs discriminative modelling

Generative: one model for each class/group (e.g. HMM)



generative are better in describing classes

Discriminative: just model how to separate classes (e.g. SVM)



discriminative are better in solving the problem

Injecting discriminative information into HMM

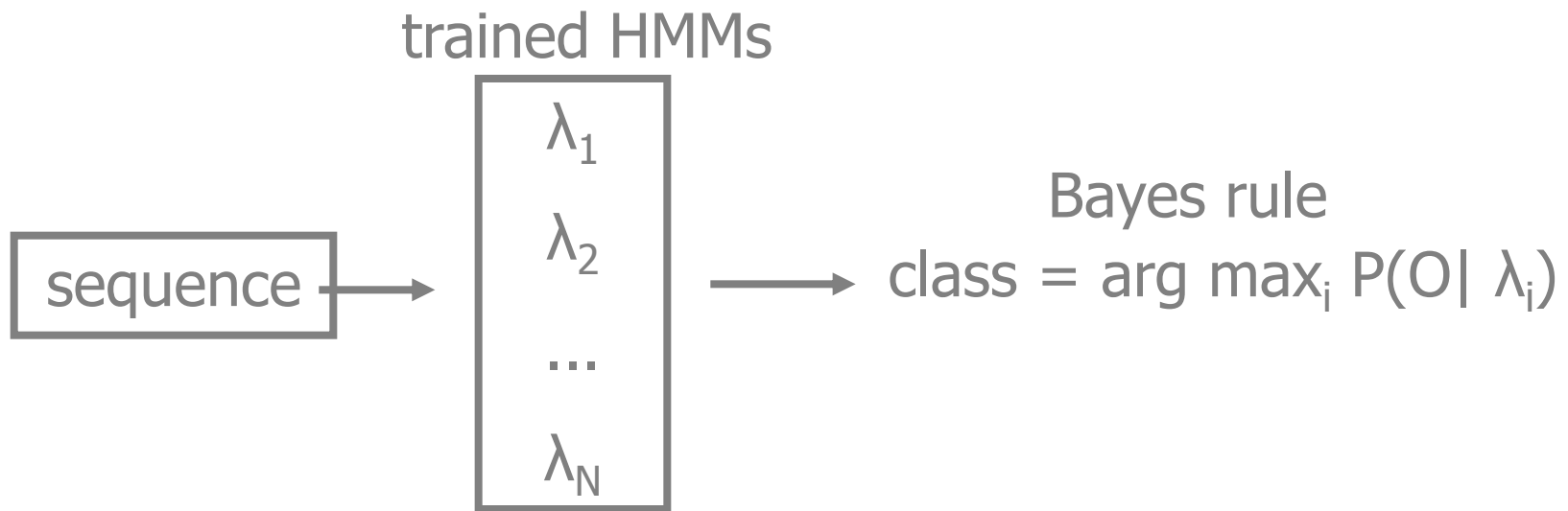
- HMM are generative models, could be improved injecting discriminative information (information from other classes)
- Two ways:
 - inject discriminative information in the training phase
 - inject discriminative information in the classification phase

Discriminative training

- Standard HMM training is blind (no information from other classes is used)
- IDEA: training HMMs with discriminative criteria, i.e. considering also other classes' information
- Two popular examples:
 - maximum mutual information (MMI)
[Bahl, Brown, de Souza, Mercer, ICASSP 00]
 - maximize likelihood for the objects in the class while minimizing the likelihood for the other objects
 - minimum Bayes risk (MBR)
[Kaiser, Horvat, Kacic, ICSLP 00]

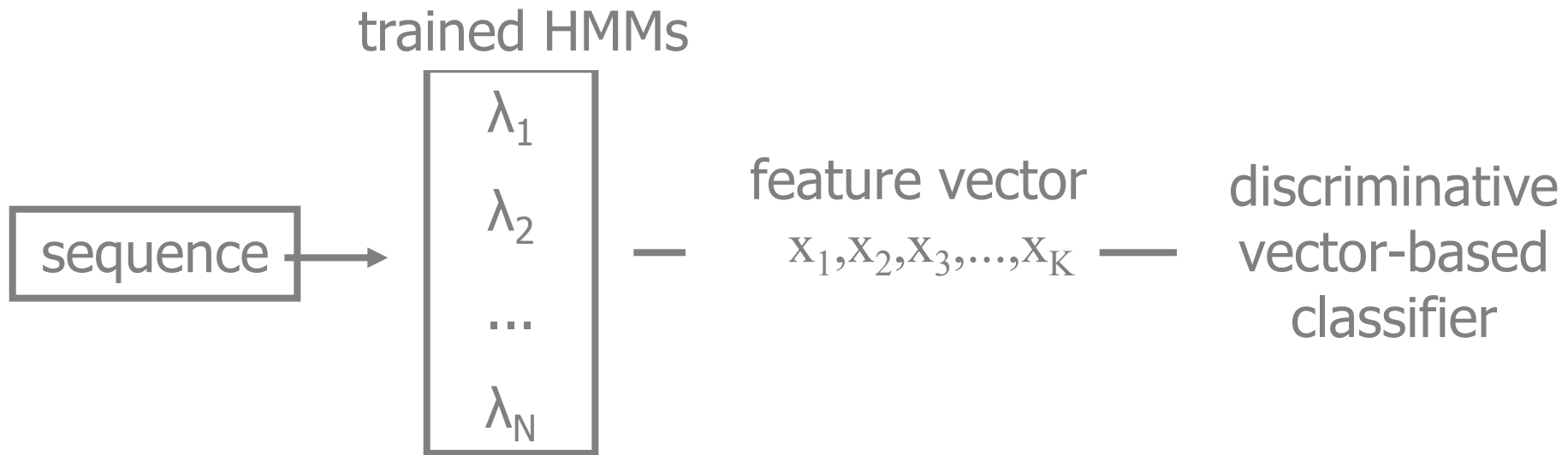
Discriminative classification

Standard HMM classification: train one HMM per class and apply the Bayes rule



Discriminative classification

Idea of discriminative classification: using trained HMMs to derive a feature space, where a discriminative classifiers is trained



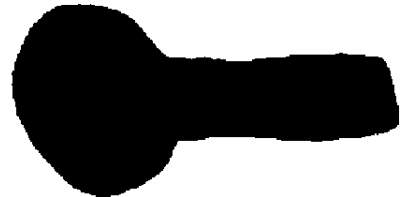
Discriminative classification

- Kind of features:
 - the gradient of the Log Likelihood (or other related quantities):
 - this is the well known Fisher Kernel:
[Jaakkola, Haussler, NIPS 99]
 - the log likelihood itself (or other quantities directly computable from the posterior probability)
 - using “score spaces”
 - using the “dissimilarity-based representation” paradigm

HMM application 2D shape classification

2D shape classification

- Addressed topic in Computer Vision, often basic for three dimensional object recognition
- Fundamental: contour representation
 - Fourier Descriptor
 - chain code
 - curvature based techniques
 - invariants
 - auto-regressive coefficients
 - Hough - based transforms
 - associative memories



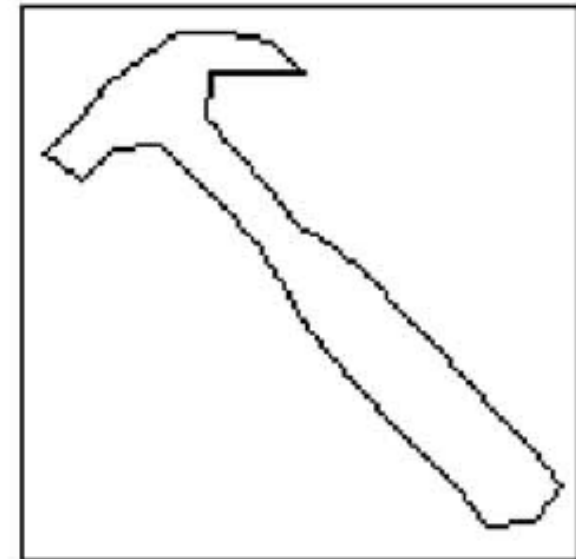
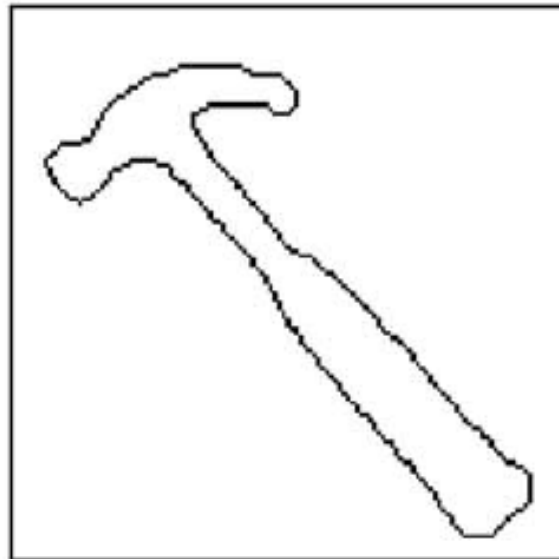
Motivations

- The use of HMM for shape analysis is very poorly addressed
- Previous works:
 - He Kundu (PAMI - 91) using AR coefficients
 - Fred Marques Jorge 1997 (ICIP 97) using chain code
 - Arica Yarman Vural (ICPR 2000) using circular HMM
- Very low entity occlusion
- Closed contours
- Noise sensitivity not analysed

Objectives

- Investigate the capability of HMM in discriminating object classes, with respect to object translation, rotation, occlusion, noise, and affine projections.
- We use curvature representation for object contour.
- No assumption about HMM topologies or closeness of boundaries.

Curvature representation



- Contour is smoothed by a gaussian filter before computing the curvature

Curvature representation

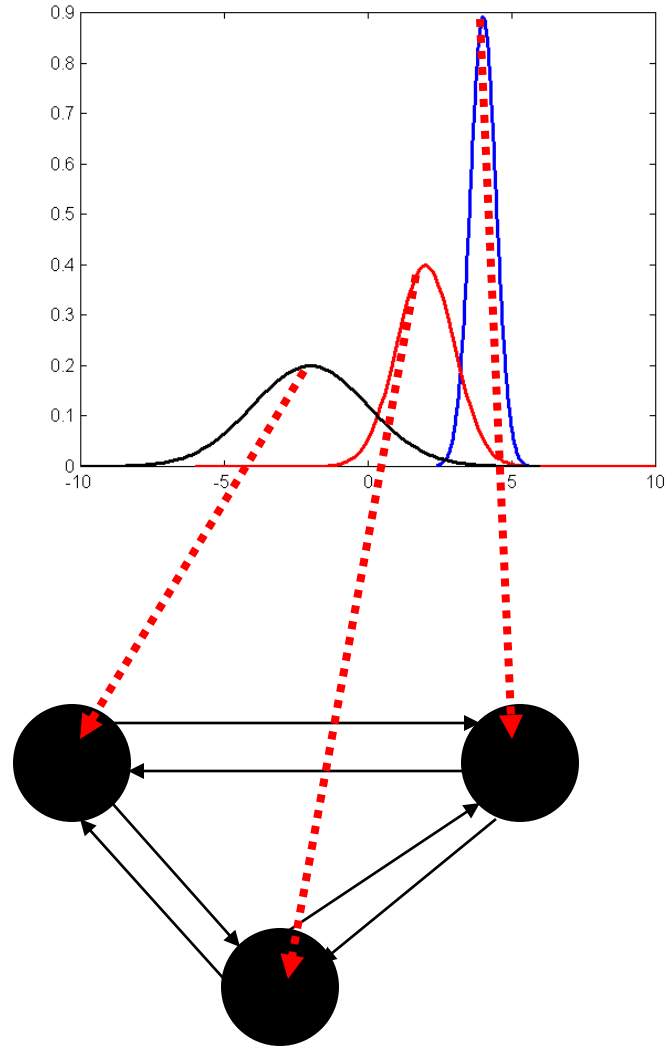
- Advantages
 - invariant to object translation
 - rotation of object is equal to phase translation of the curvature signal;
 - can be calculated for open contours
- Disadvantages
 - noise sensitivity

Hidden Markov Model

- Use of Continuous Hidden Markov Model: the emission probability of each state is a Gaussian distribution
- Crucial Issues:
 - Initialisation of training algorithm
 - Model Selection

HMM Initialisation

- Gaussian Mixture Model clustering of the curvature coefficients: each cluster centroid is used for initialising the parameters of each state.



HMM model selection

- Bayesian Information Criterion on the initialization
 - Using BIC on the gaussian mixture model clustering in order to choose the optimal number of states.
 - Advantage: only one HMM training session

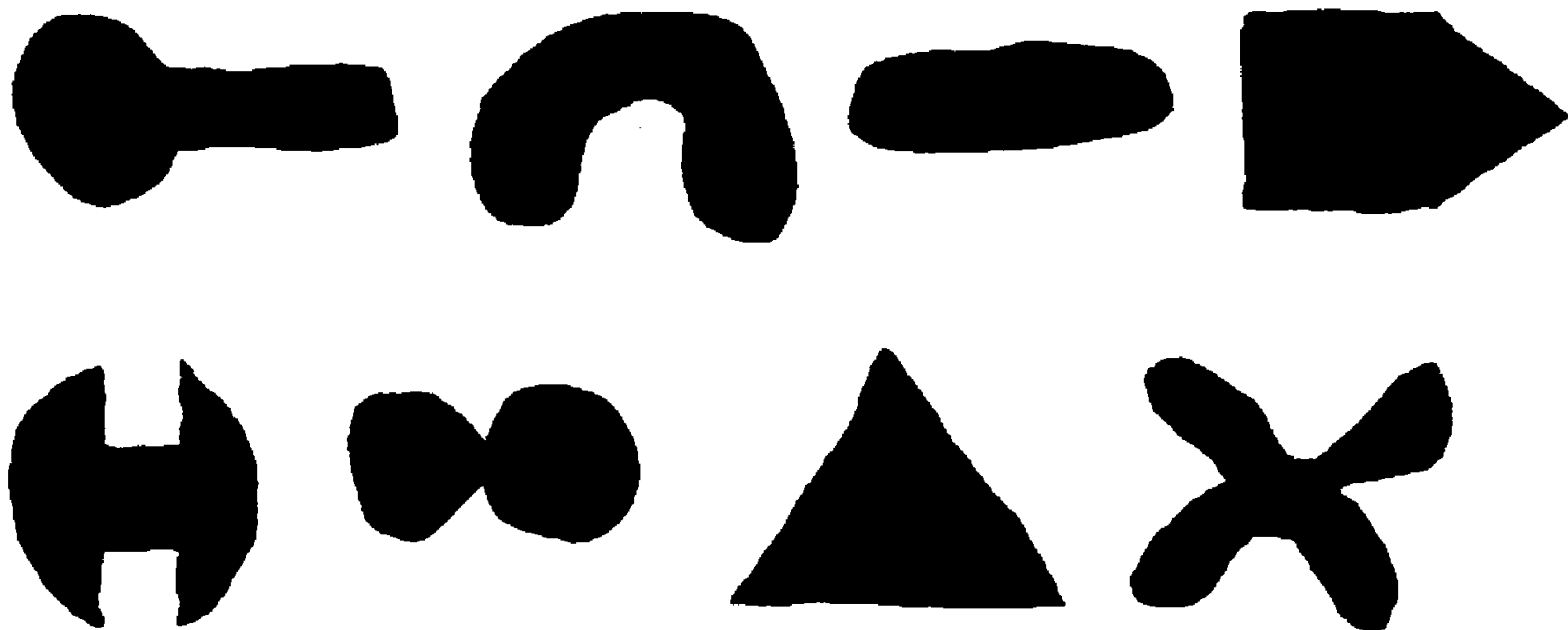
Strategy

- Training: for any object we perform these steps
 - extract edges with Canny edge detector
 - calculate the related curvature signature;
 - train an HMM on it:
 - the HMM was initialised with GMM clustering;
 - the number of HMM states is estimated using the BIC criterion;
 - each HMM was trained using Baum-Welch algorithm
 - at the end of training session we have one HMM λ_i for each object.

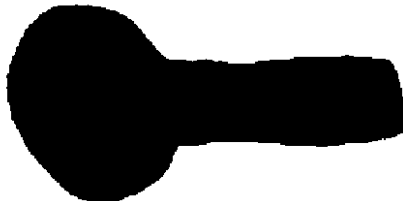
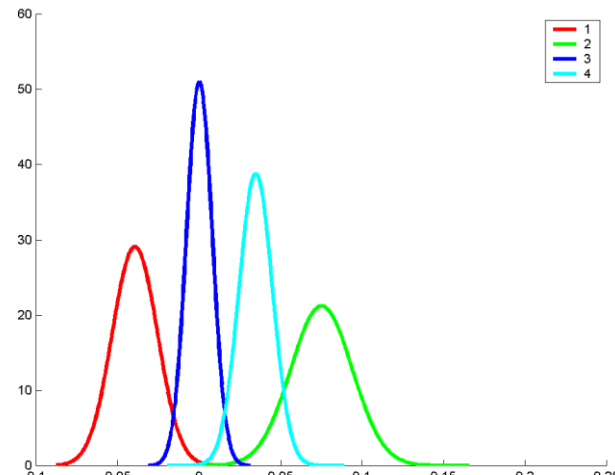
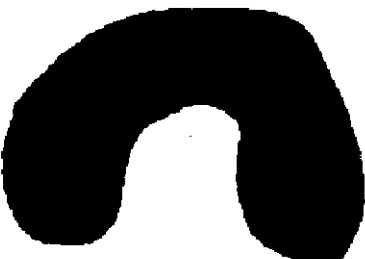
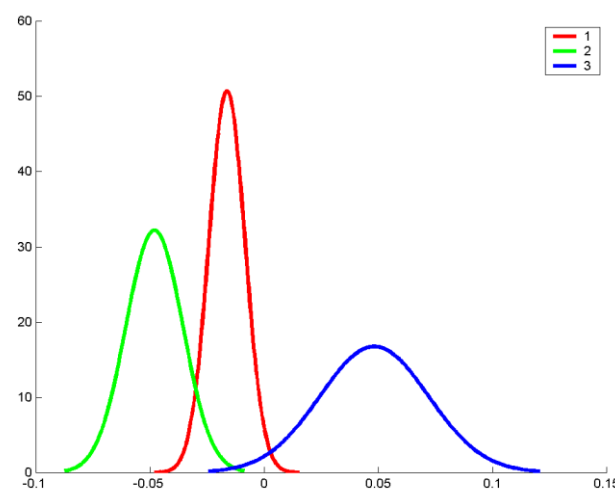
Strategy (cont.)

- Classification: given an unknown sequence O
 - compute, for each model λ_i , the probability $P(O|\lambda_i)$ of generating the sequence O
 - classify O as belonging to the class whose model shows the highest probability $P(O|\lambda_i)$.

Experimental: The test set



The models

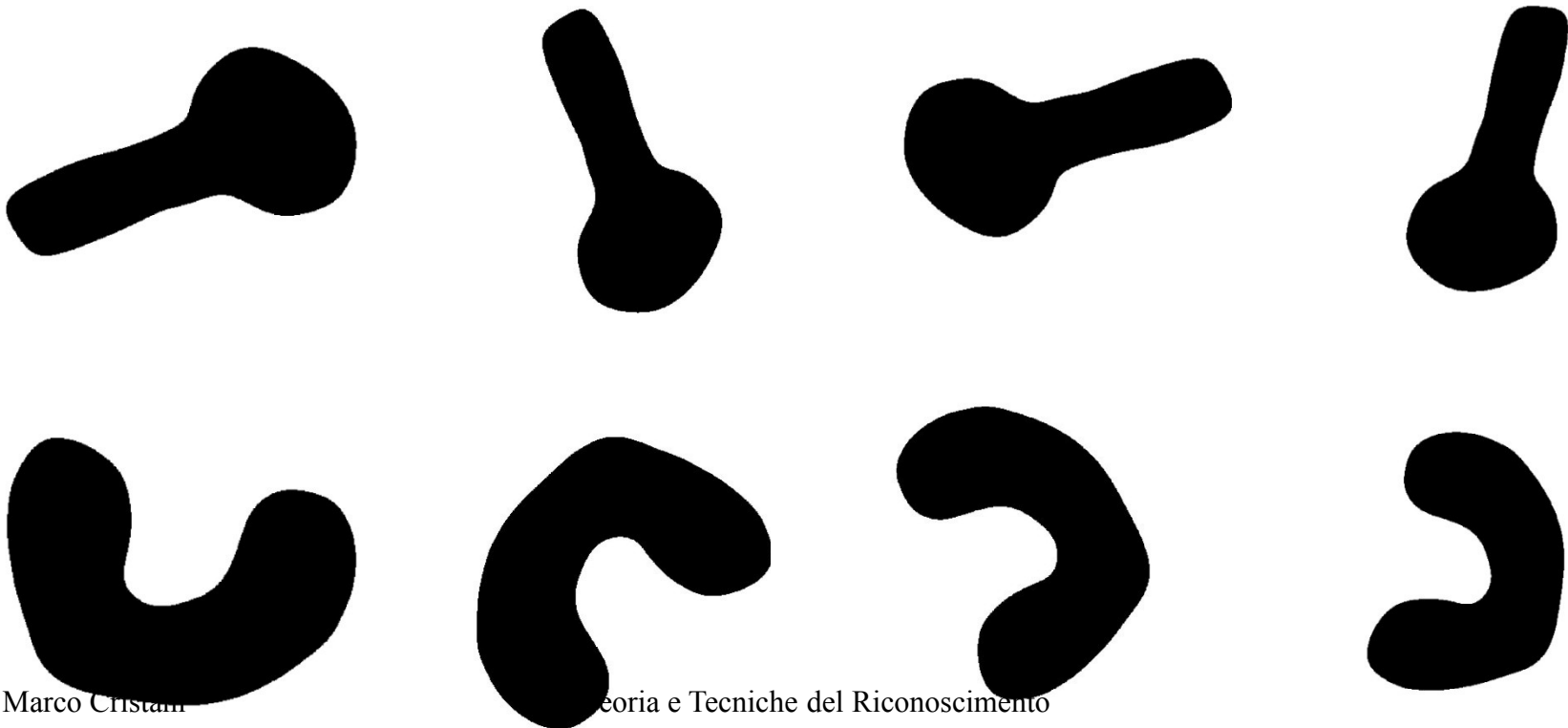
Shape	Emission Probability	Transition Probability																
	 <p>A plot showing four Gaussian emission probability distributions for a key shape. The x-axis ranges from -0.1 to 0.25, and the y-axis ranges from 0 to 60. The distributions are centered around -0.04 (red), 0.0 (blue), 0.02 (cyan), and 0.06 (green). A legend indicates the curves correspond to states 1, 2, 3, and 4 respectively.</p>	<table border="1"><tr><td>0.94</td><td>0.00</td><td>0.06</td><td>0.00</td></tr><tr><td>0.00</td><td>0.96</td><td>0.00</td><td>0.04</td></tr><tr><td>0.02</td><td>0.00</td><td>0.96</td><td>0.02</td></tr><tr><td>0.00</td><td>0.02</td><td>0.02</td><td>0.96</td></tr></table>	0.94	0.00	0.06	0.00	0.00	0.96	0.00	0.04	0.02	0.00	0.96	0.02	0.00	0.02	0.02	0.96
0.94	0.00	0.06	0.00															
0.00	0.96	0.00	0.04															
0.02	0.00	0.96	0.02															
0.00	0.02	0.02	0.96															
	 <p>A plot showing three Gaussian emission probability distributions for a neck pillow shape. The x-axis ranges from -0.1 to 0.15, and the y-axis ranges from 0 to 60. The distributions are centered around -0.04 (green), 0.0 (red), and 0.04 (blue). A legend indicates the curves correspond to states 1, 2, and 3 respectively.</p>	<table border="1"><tr><td>0.98</td><td>0.01</td><td>0.01</td></tr><tr><td>0.03</td><td>0.97</td><td>0.00</td></tr><tr><td>0.02</td><td>0.00</td><td>0.98</td></tr></table>	0.98	0.01	0.01	0.03	0.97	0.00	0.02	0.00	0.98							
0.98	0.01	0.01																
0.03	0.97	0.00																
0.02	0.00	0.98																

The models (2)

Shape	Emission Probability	Transition Probability																									
		<table border="1"> <tr><td>0.92</td><td>0.00</td><td>0.00</td><td>0.08</td><td>0.00</td></tr> <tr><td>0.00</td><td>0.97</td><td>0.01</td><td>0.02</td><td>0.00</td></tr> <tr><td>0.00</td><td>0.00</td><td>0.89</td><td>0.04</td><td>0.07</td></tr> <tr><td>0.09</td><td>0.11</td><td>0.00</td><td>0.80</td><td>0.00</td></tr> <tr><td>0.00</td><td>0.00</td><td>0.09</td><td>0.00</td><td>0.91</td></tr> </table>	0.92	0.00	0.00	0.08	0.00	0.00	0.97	0.01	0.02	0.00	0.00	0.00	0.89	0.04	0.07	0.09	0.11	0.00	0.80	0.00	0.00	0.00	0.09	0.00	0.91
0.92	0.00	0.00	0.08	0.00																							
0.00	0.97	0.01	0.02	0.00																							
0.00	0.00	0.89	0.04	0.07																							
0.09	0.11	0.00	0.80	0.00																							
0.00	0.00	0.09	0.00	0.91																							
		<table border="1"> <tr><td>0.91</td><td>0.00</td><td>0.00</td><td>0.09</td></tr> <tr><td>0.00</td><td>0.95</td><td>0.05</td><td>0.00</td></tr> <tr><td>0.00</td><td>0.06</td><td>0.92</td><td>0.02</td></tr> <tr><td>0.08</td><td>0.00</td><td>0.08</td><td>0.83</td></tr> </table>	0.91	0.00	0.00	0.09	0.00	0.95	0.05	0.00	0.00	0.06	0.92	0.02	0.08	0.00	0.08	0.83									
0.91	0.00	0.00	0.09																								
0.00	0.95	0.05	0.00																								
0.00	0.06	0.92	0.02																								
0.08	0.00	0.08	0.83																								

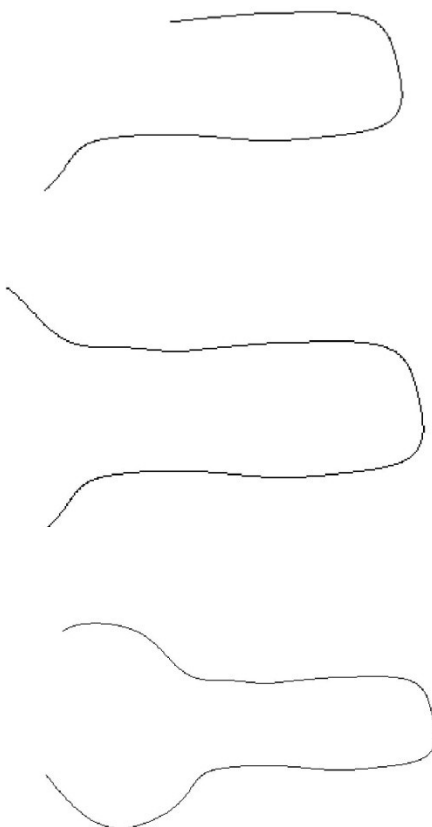
Rotation

- Test set is obtained by rotating 10 times each object by a random angle from 0 to 2π .
- Results: Accuracy 100%



Occlusion

- Each object is occluded: occlusion vary from 5% to 50% (only an half of the whole object is visible)

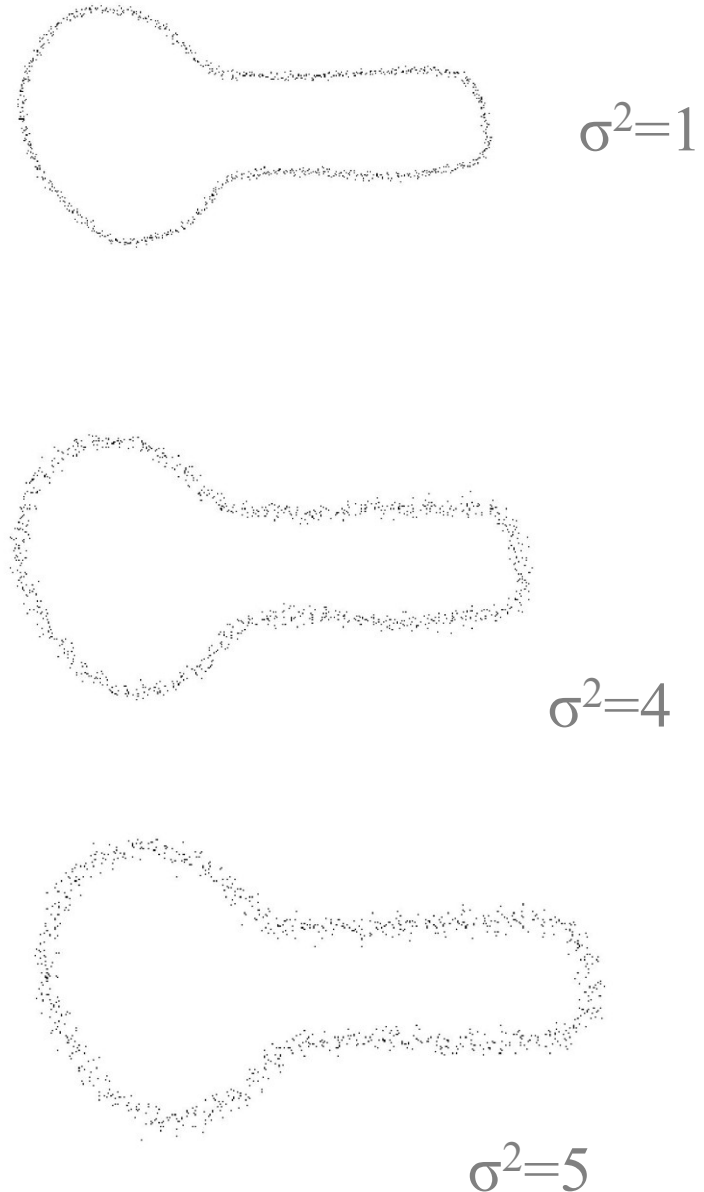


Occlusion: results

Occlusion percentage level	Classification Accuracy
5%	100%
10%	100%
15%	100%
20%	100%
25%	100%
30%	100%
35%	100%
40%	97.5%
45%	96.25%
50%	95%

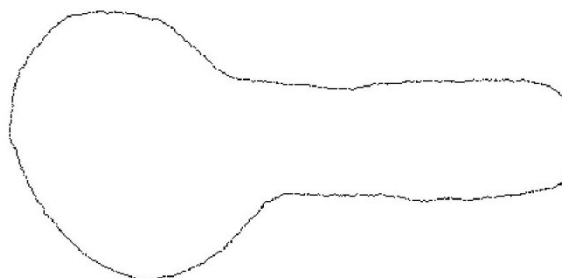
Noise

- A Gaussian Noise (with mean 0 and variance σ^2) is added to the X Y coordinates of the object
- σ^2 varies from 1 to 5: Accuracy 100%. The gaussian filter applied before calculating the curvature is able to remove completely this kind of noise

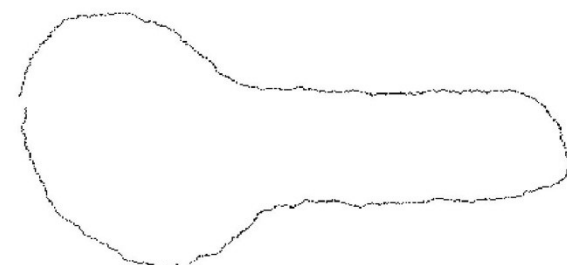


Alternative Noise

- Adding noise to the first derivative



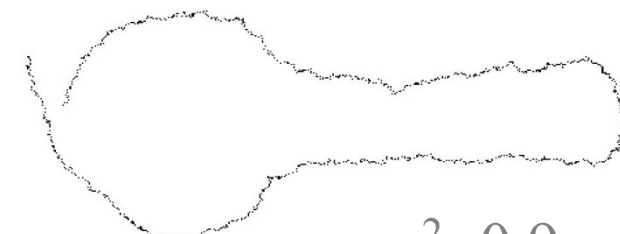
$$\sigma^2=0.3$$



$$\sigma^2=0.5$$



$$\sigma^2=0.7$$



$$\sigma^2=0.9$$

Noise: results

Noise variance σ^2	Classification Accuracy
0.1	100.00%
0.3	97.50%
0.5	88.75%
0.7	82.50%
0.9	73.75%

Occlusion and Rotation: results

Occlusion percentage level	Classification Accuracy
5%	100%
10%	100%
15%	100%
20%	100%
25%	96.25%
30%	96.25%
35%	95%
40%	91.25%
45%	85%
50%	87.5%

Occlusion, Rotation and Noise: Results

Occlusion Percentage level	Classification Accuracy		
	Noise $\sigma^2=0.1$	Noise $\sigma^2=0.3$	Noise $\sigma^2=0.5$
50%	86.25%	83.75%	75.00%
40%	93.75%	87.50%	77.50%
30%	98.75%	90.00%	80.00%
20%	98.75%	93.75%	80.00%
10%	100.00%	97.50%	87.50%

Slant and Tilt Projection

Angoli proiezione	Tilt = 10	Tilt = 20	Tilt = 30	Tilt = 40	Tilt = 50
Slant = 10					
Slant = 20					
Slant = 30					
Slant = 40					
Slant = 50					

Slant and Tilt Projection: results

Angoli proiezione	Tilt = 10	Tilt = 20	Tilt = 30	Tilt = 40	Tilt = 50
Slant = 10	8/8	8/8	8/8	7/8	4/8
Slant = 20	8/8	8/8	8/8	7/8	4/8
Slant = 30	8/8	8/8	8/8	7/8	4/8
Slant = 40	8/8	8/8	7/8	5/8	4/8
Slant = 50	8/8	8/8	6/8	4/8	4/8

Conclusions

- System is able to recognize object that could be translated, rotated and occluded, also in presence of noise.
- Translation invariance: due to Curvature
- Rotation invariance: due to Curvature and HMM
- Occlusion invariance: due to HMM
- Robustness to noise: due to HMM

HMM application

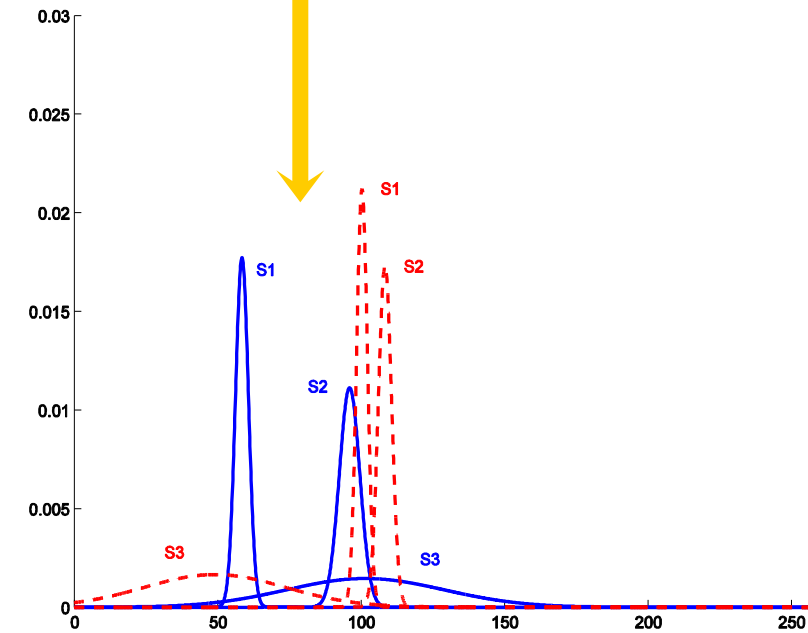
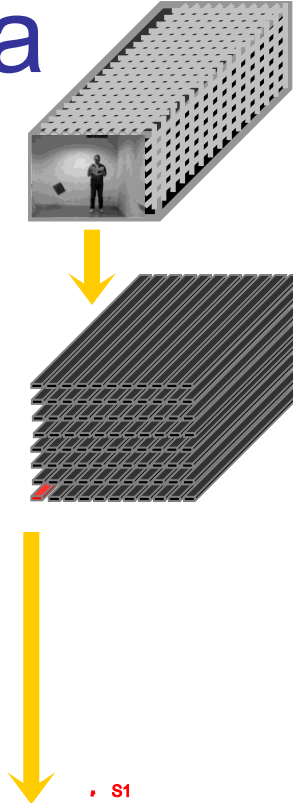
Video Analysis

Use of the HMMs: main idea

- Each pixel (signal) v of the sequence is modeled with an HMM $\lambda_v = (A, B, \pi)$
- $B = \boxed{\quad}$ represents gray level ranges assumed by the v -th pixel signal, and



- The larger the $\boxed{\quad}$, the more irregular the corresponding signal
- $A :=$ Markov chain that mirrors the evolution of the gray levels



The idea

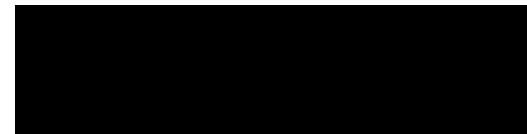
- Define the distances between locations on the basis of the distances between the trained Hidden Markov Models
- The segmentation process is obtained using a spatial clustering of HMMs
- We need to define a similarity measure
 - decide when a group (at least, a couple) of neighboring pixels must be labelled as belonging to the same region
- Using this measure the segmentation is obtained as a standard region growing algorithm

The similarity measure

- The used similarity measure is:

$$D(i, j) = \frac{1}{2} \left\{ \frac{L_{ij} - L_{jj}}{L_{jj}} + \frac{L_{ji} - L_{ii}}{L_{ii}} \right\}$$

where



- We use a similar distance, *more robust*, which weights more the states in which the model stands more time

Results (real)



[Corridoio.avi](#)

**Image based
segmentation**



**HMM based
segmentation**



For more (and other) info ...

- M. Bicego, M. Cristani, V. Murino, "Unsupervised Scene Analysis: A Hidden Markov Model Approach", *Computer Vision and Image Understanding*, Vol. 102/1, pp. 22-41, April 2006.
- M. Cristani, M. Bicego, V. Murino, "Multi-level Background Initialization using Hidden Markov Models", First ACM SIGMM Int'l Wks on Video Surveillance, Berkeley, CA, USA, pp. 11-20, Nov. 2003.
- M. Cristani, M. Bicego, V. Murino, "Integrated Region- and Pixel-based Approach to Background Modelling", IEEE Wks. on Motion and Video Computing, Orlando, FL, pp. 3-8, Dec. 2002.
- A. Perina, M. Cristani, V. Murino et al. "Unsupervised haplotype reconstruction and LD blocks discovery in a hidden Markov framework", CIBB 2007.